

Supplementary Figure 1

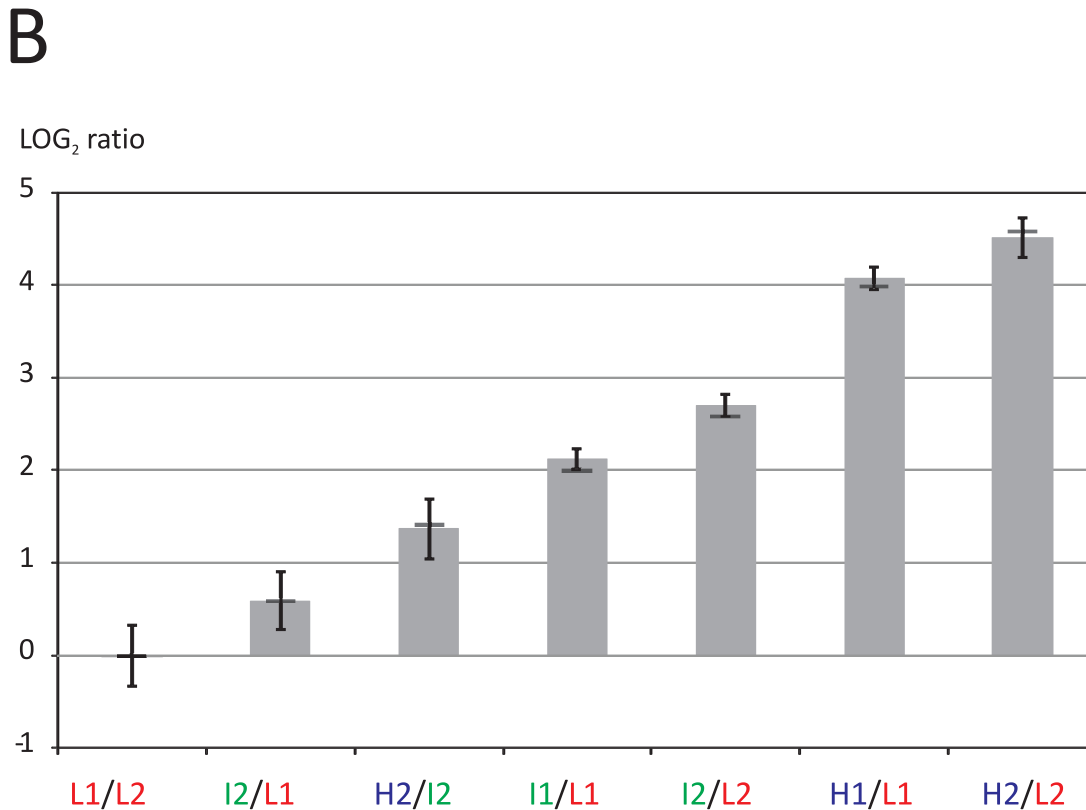
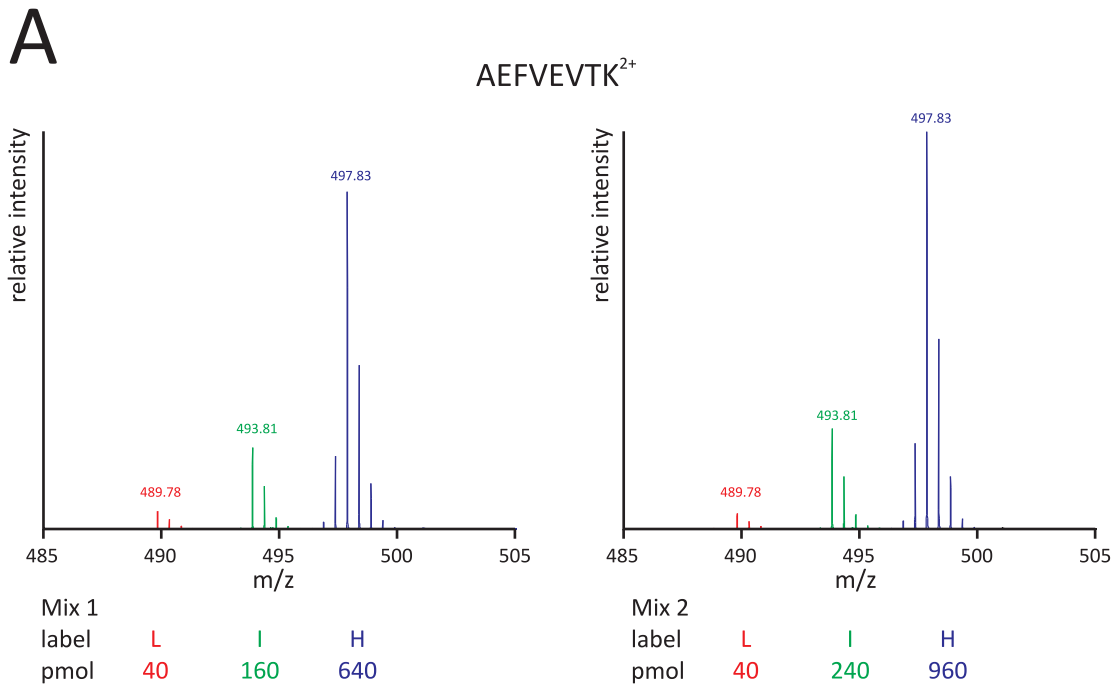


Figure S1. (A) Representative mass spectra (doubly charged peptide AEFVEVTK) for two independent triple labeling experiments of different amounts of tryptic BSA. The light isotopomers are indicated in red, the intermediate isotopomers in green and the heavy isotopomers in blue. The amount of BSA injected for each labeling event is indicated below the mass spectra. (B) Using a set of 10 peptide triplets which could consistently be quantified between the two independent experiments, we calculated log₂ ratios for several combinations and compared them to the expected ratios. The observed ratios are depicted as light grey columns, with the standard deviations indicated and the expected ratio marked with a dark grey bar.

Supplementary Figure 2

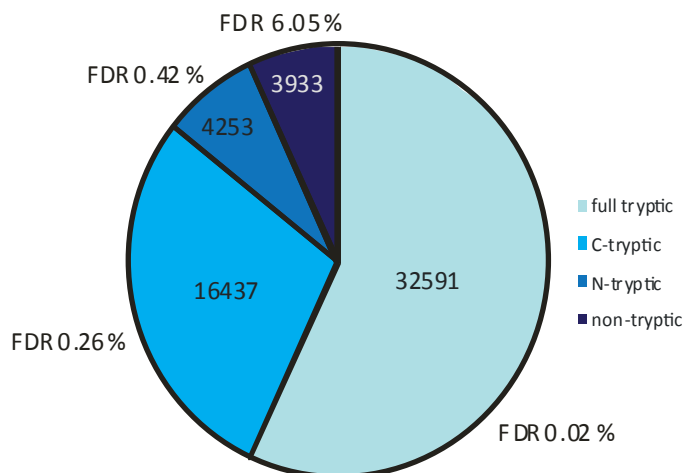


Figure S2. Pie chart showing the contribution of non-tryptic (dark blue, white letters), semi-tryptic (dark blue, black letters for peptides with a tryptic N-terminus and light blue for peptides with a tryptic C-terminus) and fully tryptic peptides (cyan) to the total pool of peptides identified at a Mascot cut-off ion score of 30. Next to each group is the false discovery rate (FDR) for that specific set of peptides, showing that the non-tryptic peptides gave the largest relative number of hits to decoy proteins.

Supplementary Figure 3

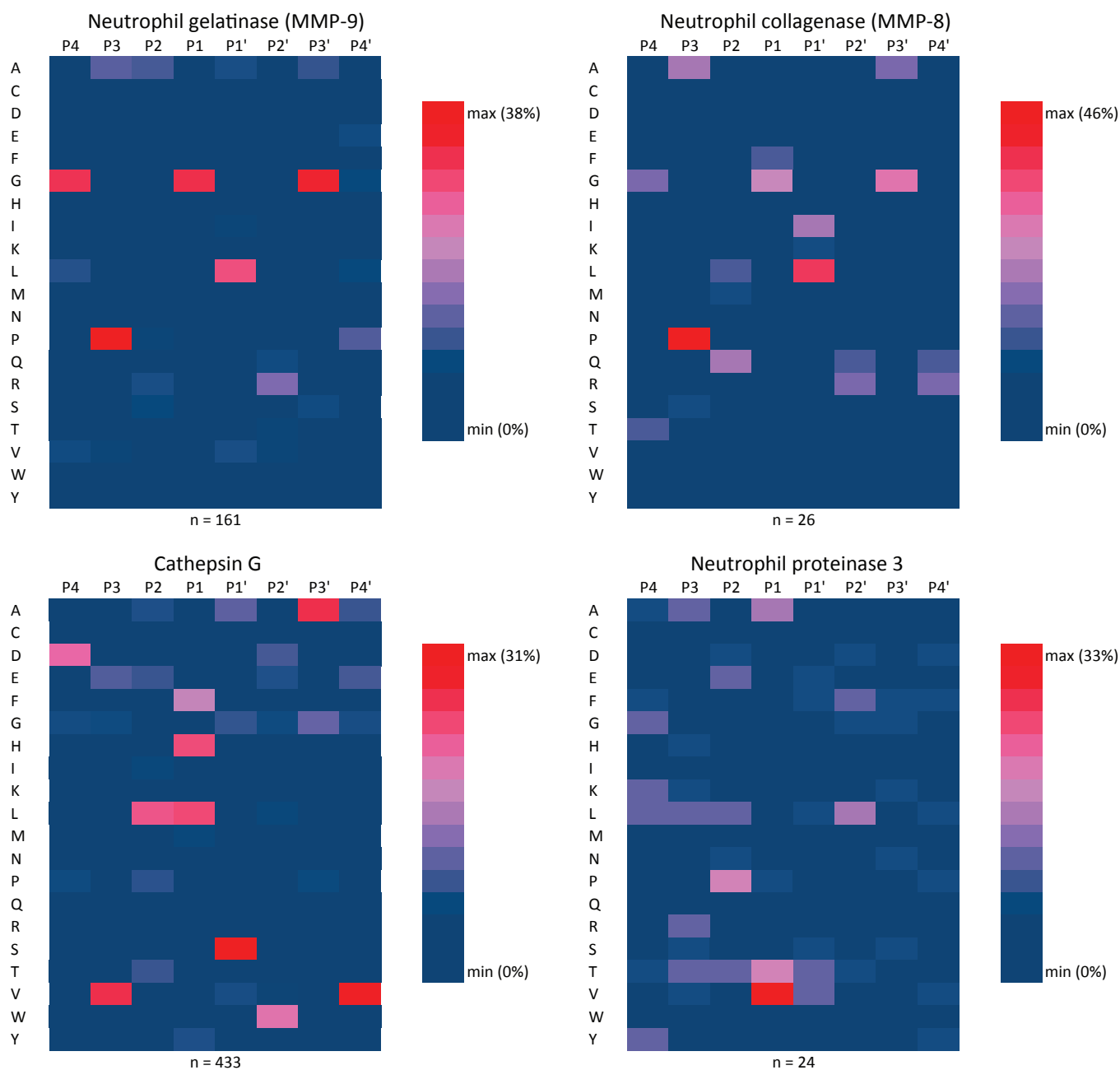


Figure S3. Heat maps showing the specificity matrix for four proteases known to be present in neutrophil granulocytes, using data derived from the MEROPS database on proteases (<http://merops.sanger.ac.uk/>). Shown are heatmaps for neutrophil gelatinase (MMP-9, top left), neutrophil collagenase (MMP-8, top right), cathepsin G (bottom left) and neutrophil proteinase-3 (bottom right). The heat maps are colored relative to the most abundant amino acid in each specificity matrix, the abundance of which is indicated next to the color scale for each protease.

Supplementary Figure 4

LOG2 ratio

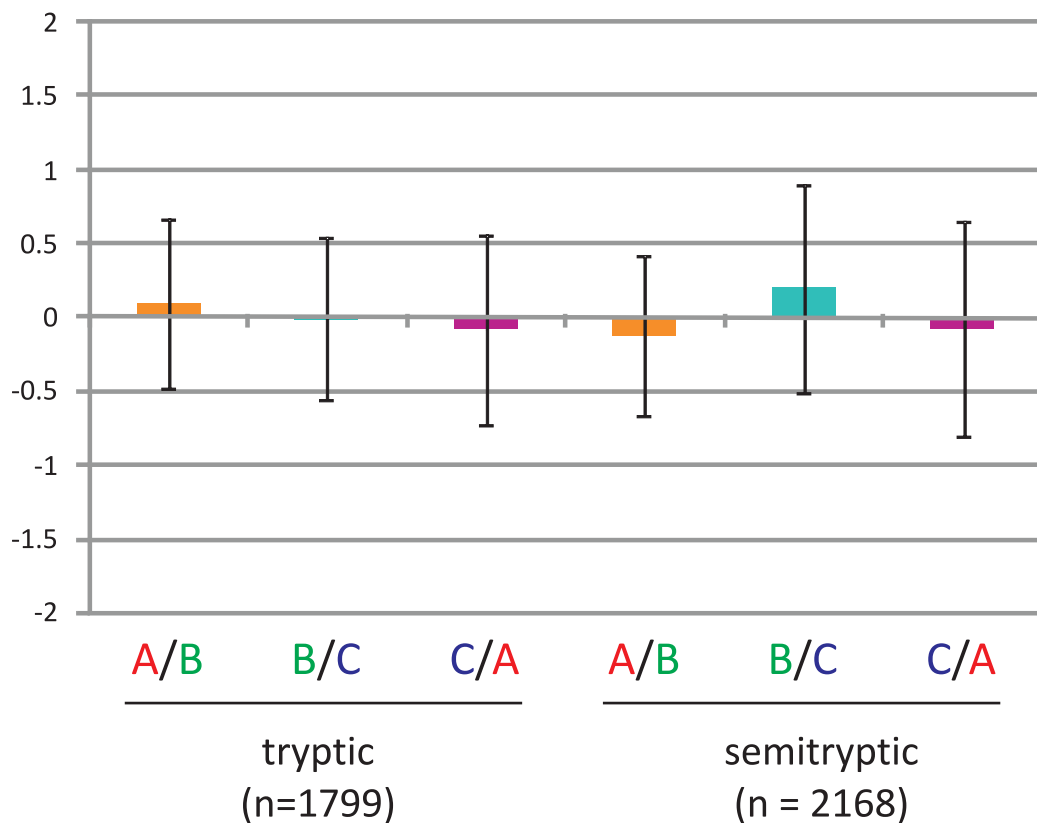


Figure S4. Graph showing the average and standard deviation of quantified peptides for each combination of donors (A over B in orange, B over C in cyan and C over A in magenta), separated in tryptic (left three bars) and semi-tryptic peptides (right three bars). The number of quantified peptides used to calculate the numbers are indicated below the graph.

Supplementary Figure 5

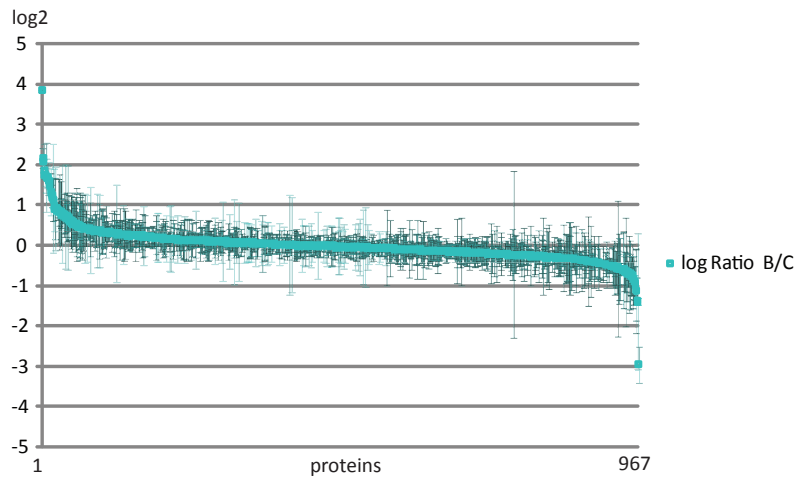
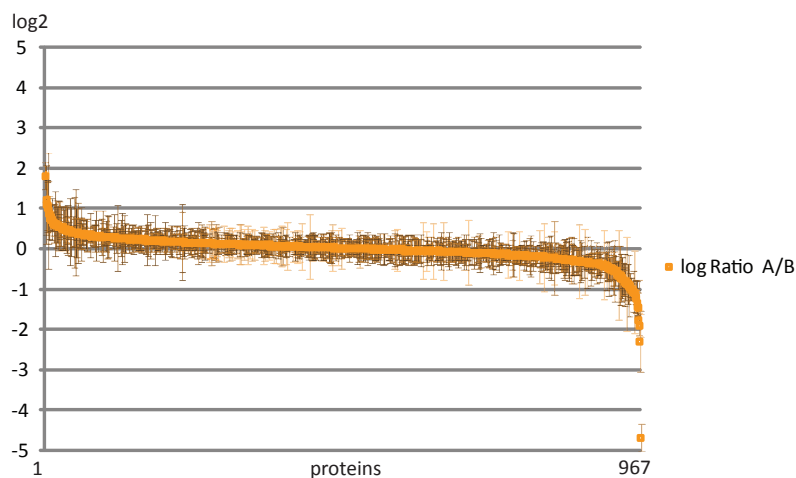


Figure S5. Plots of the log₂ of the ratios of donor A over donor B (colored orange) and donor B over donor C (colored cyan) for all 967 quantified proteins with their standard deviations indicated. The corresponding graph for donor C over donor A is present in the article as figure 6A.

Swissprot ID	# peptides quantified	STDEV of log 2 ratios	log 2 Ratio A/B	(log 2) STDEV A/B	log 2 Ratio B/C	(log 2) STDEV B/C	log 2 Ratio C/A	(log 2) STDEV C/A
OLFM4_HUMAN	4	4.730	-4.674	0.343	-0.027	0.157	4.785	0.298
NQO2_HUMAN	2	3.383	-1.343	0.316	3.855	0.030	-2.496	0.346
K22E_HUMAN	2	3.169	-0.381	0.008	-2.953	0.448	3.349	0.456
GP1BB_HUMAN	4	1.990	-2.275	0.758	1.655	0.408	0.230	0.679
PLBL1_HUMAN	9	1.846	-1.899	0.277	-0.075	0.510	1.793	0.440
FIBA_HUMAN	8	1.843	-0.998	0.284	2.165	0.246	-1.054	0.282
LTB1L_HUMAN	2	1.816	-0.880	0.105	2.094	0.437	-1.198	0.332
TBB1_HUMAN	6	1.650	-1.000	0.211	1.855	0.035	-1.005	0.308
PADI4_HUMAN	21	1.577	1.818	0.329	-1.129	0.331	-0.630	0.332
ILEU_HUMAN	11	1.574	-0.267	0.399	1.697	0.860	-1.415	0.582
B3AT_HUMAN	5	1.544	-1.738	0.155	-0.101	0.431	1.347	1.167
SDPR_HUMAN	2	1.525	-1.032	0.184	1.756	0.072	-0.709	0.112
FIBG_HUMAN	13	1.510	-0.995	0.192	1.743	0.427	-0.729	0.395
FIBB_HUMAN	8	1.507	-1.160	0.196	1.697	0.281	-0.563	0.408
ITB3_HUMAN	4	1.500	-0.935	0.329	1.752	0.270	-0.747	0.042
PLF4_HUMAN	2	1.446	-1.177	0.418	1.618	0.001	-0.426	0.417
ITA2B_HUMAN	6	1.428	-1.037	0.508	1.690	0.238	-0.408	0.631
CXCL7_HUMAN	5	1.428	-0.859	0.138	1.584	0.199	-0.918	0.293
SPTA1_HUMAN	3	1.347	-1.446	0.692	0.246	0.531	1.215	0.545
BPL_HUMAN	25	1.336	-1.419	0.339	1.228	0.272	0.222	0.511
API5_HUMAN	2	1.278	1.112	0.974	-1.394	1.684	0.297	0.710
TSP1_HUMAN	13	1.260	-0.752	0.402	1.502	0.287	-0.600	0.519
AMPD3_HUMAN	3	1.260	-1.227	0.420	-0.047	0.357	1.290	0.541
H10_HUMAN	2	1.206	0.620	0.059	-1.384	0.085	0.780	0.143
MMRN1_HUMAN	2	1.157	-0.822	0.460	1.327	0.573	-0.490	0.113
CHIT1_HUMAN	4	1.151	1.215	0.870	-0.933	0.409	-0.578	0.353
PDL1_HUMAN	2	1.144	-0.542	0.228	1.320	0.020	-0.762	0.248
REPS2_HUMAN	2	1.125	-1.063	1.014	1.179	1.342	-0.101	0.328
PRTN3_HUMAN	38	1.092	-0.865	0.490	-0.312	0.553	1.241	0.718
LMAN1_HUMAN	2	1.058	0.343	0.543	0.853	0.786	-1.180	0.243
ST1A1_HUMAN	5	1.016	-1.056	0.151	0.970	1.107	0.088	0.115
SMD3_HUMAN	2	0.989	1.033	0.607	-0.078	0.532	-0.939	1.139
U520_HUMAN	2	0.981	0.642	0.481	-1.124	1.060	0.498	0.579
PGM2L_HUMAN	2	0.979	-0.657	0.721	1.130	0.762	-0.457	0.040
LPPL_HUMAN	13	0.965	1.087	0.626	-0.306	0.839	-0.766	0.818
TCO1_HUMAN	3	0.956	0.072	0.583	-0.983	0.887	0.926	1.072
AP3D1_HUMAN	2	0.929	0.276	0.817	0.769	0.211	-1.030	0.606
FNBP1_HUMAN	4	0.896	-0.934	0.100	0.070	0.130	0.854	0.831
TBA4A_HUMAN	3	0.878	-0.917	0.756	0.102	0.101	0.830	0.857
S10AC_HUMAN	4	0.873	0.254	0.131	1.135	0.513	-0.610	1.220
SPB9_HUMAN	4	0.872	0.028	0.190	0.794	0.350	-0.946	0.522
HBD_HUMAN	4	0.854	-1.063	0.099	0.341	0.349	0.481	0.206
DPP2_HUMAN	2	0.853	-0.050	0.192	0.885	0.066	-0.819	0.258
F13A_HUMAN	3	0.842	-0.720	0.019	0.909	0.074	-0.275	0.091
SEPT9_HUMAN	3	0.840	0.949	1.444	-0.663	1.348	-0.271	0.136
CC50A_HUMAN	2	0.836	0.017	0.142	0.835	0.938	-0.837	0.797
SRPK1_HUMAN	2	0.823	-0.196	0.362	0.910	0.756	-0.698	0.395
ELOC_HUMAN	2	0.816	-0.664	0.731	-0.235	0.173	0.914	0.904
TPSN_HUMAN	3	0.793	0.151	0.021	-0.851	0.481	0.715	0.501
SIRBL_HUMAN	2	0.792	-0.533	0.763	0.914	1.042	-0.366	0.279
IFS1_HUMAN	5	0.792	-0.320	0.813	-0.440	0.042	0.987	0.621
CASP3_HUMAN	2	0.791	0.868	0.100	-0.166	0.270	-0.686	0.170
EEA1_HUMAN	2	0.776	0.384	0.399	-0.888	0.153	0.519	0.246
PTN7_HUMAN	2	0.776	0.901	0.776	-0.460	0.443	-0.426	0.333
IGHG1_HUMAN	5	0.771	-0.721	0.504	0.814	0.326	-0.077	0.181
NIT1_HUMAN	3	0.766	0.582	0.615	-0.865	0.615	0.298	0.061
RAB21_HUMAN	2	0.765	-0.076	0.204	0.807	0.797	-0.716	0.593
FCG3A_HUMAN	2	0.751	-0.856	1.162	0.349	0.564	0.523	0.597
KS6A3_HUMAN	3	0.739	-0.765	0.633	0.073	0.329	0.707	0.429
ALBU_HUMAN	31	0.738	-0.806	0.340	0.426	0.344	0.513	0.661
SRGN_HUMAN	4	0.737	-0.292	0.338	0.845	0.153	-0.537	0.299
OST48_HUMAN	2	0.735	-0.078	0.425	0.778	1.205	-0.685	0.780
CAH1_HUMAN	2	0.720	0.296	0.512	-0.814	0.206	0.534	0.306
PACN2_HUMAN	2	0.719	0.025	0.237	0.714	0.611	-0.723	0.848
IGKC_HUMAN	2	0.717	-0.712	0.600	0.004	0.104	0.723	0.704
A1AT_HUMAN	4	0.717	-0.071	0.192	0.867	0.223	-0.541	0.474
P66B_HUMAN	2	0.714	-0.540	0.203	-0.258	0.030	0.813	0.233
F16P1_HUMAN	3	0.707	0.680	0.226	-0.730	0.194	0.065	0.391
HBB_HUMAN	33	0.704	-0.806	0.305	0.359	0.670	0.462	0.572
MPRI_HUMAN	3	0.700	-0.360	0.305	0.812	0.373	-0.436	0.222
LOX15_HUMAN	4	0.695	-0.211	0.117	-0.590	0.152	0.758	0.060
UBP14_HUMAN	3	0.691	0.771	0.324	-0.185	0.191	-0.571	0.447
AT2B4_HUMAN	2	0.683	-0.400	0.172	-0.378	0.230	0.794	0.401
XPO2_HUMAN	2	0.682	-0.644	1.115	-0.056	0.031	0.715	1.146
3BP1_HUMAN	3	0.680	0.783	0.529	-0.475	0.054	-0.293	0.566
DOC11_HUMAN	2	0.679	0.347	0.021	0.445	0.457	-0.777	0.478
RAB32_HUMAN	2	0.679	-0.009	0.182	-0.666	0.496	0.691	0.678
H31_HUMAN	10	0.673	0.294	0.127	0.424	0.435	-0.801	0.663
SODC_HUMAN	3	0.671	-0.204	0.515	0.756	0.525	-0.536	0.981
KAT_HUMAN	2	0.666	0.253	0.319	-0.750	0.495	0.512	0.177
NH2L1_HUMAN	2	0.665	-0.128	0.001	-0.583	0.761	0.727	0.762
TRI25_HUMAN	3	0.663	0.398	0.048	-0.760	0.800	0.378	0.768
LYSC_HUMAN	16	0.663	-0.639	0.358	0.147	0.226	0.679	0.352
PUR9_HUMAN	3	0.661	-0.029	0.369	0.683	0.561	-0.638	0.415
DPYL2_HUMAN	3	0.656	0.733	0.059	-0.175	0.090	-0.542	0.052
FCN1_HUMAN	6	0.649	0.736	0.524	-0.220	0.286	-0.501	0.547
HBA_HUMAN	33	0.648	-0.742	0.231	0.354	0.532	0.404	0.540
AT2A3_HUMAN	7	0.645	-0.074	0.250	0.725	0.430	-0.552	0.108
T2FA_HUMAN	2	0.645	0.190	0.193	-0.712	0.499	0.537	0.306
ILK_HUMAN	5	0.644	-0.408	0.082	0.702	0.317	-0.420	0.227
TPM4_HUMAN	11	0.635	-0.471	0.320	0.724	0.386	-0.248	0.130
RNAS2_HUMAN	8	0.634	0.398	0.741	-0.726	0.855	0.343	0.798
STBD1_HUMAN	2	0.631	-0.252	0.315	0.724	1.285	-0.456	1.600
AL9A1_HUMAN	2	0.627	0.224	0.632	-0.702	0.327	0.493	0.305
PSB7_HUMAN	2	0.624	0.274	0.016	-0.709	0.950	0.450	0.934
PRDX2_HUMAN	8	0.623	-0.533	0.468	-0.224	0.665	0.667	0.205
S10AB_HUMAN	6	0.622	0.048	0.144	0.566	0.587	-0.673	0.691

SFRS2_HUMAN	2	0.620	-0.279	0.566	-0.422	0.464	0.717	1.031
LMNA_HUMAN	2	0.619	0.262	0.131	-0.701	0.152	0.454	0.020
PNPH_HUMAN	10	0.618	-0.374	0.249	0.698	0.326	-0.372	0.452
CPNE1_HUMAN	2	0.617	-0.044	0.345	-0.586	0.153	0.646	0.497
COPG_HUMAN	2	0.617	-0.638	0.341	0.062	0.029	0.592	0.312
MESD2_HUMAN	2	0.616	0.553	0.469	0.123	0.251	-0.661	0.720
SFRS3_HUMAN	2	0.616	0.561	0.306	0.110	0.230	-0.656	0.536
PERE_HUMAN	18	0.612	0.501	0.479	-0.679	0.703	0.194	0.685
PSMF1_HUMAN	2	0.607	0.064	0.256	0.580	0.736	-0.629	0.992
HP1B3_HUMAN	3	0.605	-0.228	0.195	0.692	1.294	-0.449	1.481
LEG3_HUMAN	3	0.601	-0.063	0.248	0.638	0.464	-0.559	0.490
TYPH_HUMAN	3	0.601	0.103	0.126	-0.639	0.504	0.551	0.623
TGON2_HUMAN	2	0.595	0.367	0.159	0.330	0.226	-0.681	0.385
HNRL1_HUMAN	3	0.588	-0.001	0.379	-0.580	0.773	0.596	0.742
RAB1B_HUMAN	3	0.586	-0.082	0.301	0.630	0.400	-0.533	0.612
PI42A_HUMAN	3	0.573	0.621	0.794	-0.093	0.360	-0.513	0.995
FPP5_HUMAN	2	0.573	0.666	0.189	-0.311	0.584	-0.340	0.396
KCY_HUMAN	2	0.573	0.023	0.196	-0.576	0.875	0.569	0.678
HNRL2_HUMAN	3	0.562	0.623	0.302	-0.474	0.153	-0.133	0.149
SMC1A_HUMAN	3	0.556	-0.066	0.185	0.593	0.647	-0.512	0.611
RS14_HUMAN	4	0.555	-0.429	0.600	-0.095	0.117	0.655	0.553
RLA1_HUMAN	3	0.555	0.075	0.258	0.522	0.904	-0.581	1.158
QPCT_HUMAN	2	0.554	-0.630	0.021	0.396	0.651	0.249	0.630
ICAM3_HUMAN	2	0.548	0.294	0.198	0.347	0.375	-0.626	0.573
TMEDA_HUMAN	3	0.545	0.178	0.941	-0.605	0.939	0.443	0.796
SAE2_HUMAN	2	0.545	0.226	0.162	-0.616	0.360	0.405	0.198
GRHPR_HUMAN	4	0.541	0.143	0.367	-0.592	0.120	0.464	0.442
CATD_HUMAN	2	0.541	0.049	0.147	-0.556	0.132	0.523	0.015
SIAS_HUMAN	4	0.539	0.211	0.105	0.468	0.637	-0.567	0.756
PSA7_HUMAN	2	0.538	0.259	0.188	0.369	0.913	-0.613	1.101
HCK_HUMAN	3	0.538	0.127	0.272	-0.583	0.368	0.472	0.501
STRN_HUMAN	2	0.536	0.616	0.581	-0.217	0.479	-0.384	0.102
UBCP1_HUMAN	3	0.526	-0.134	0.577	-0.437	0.382	0.587	0.433
RPB2_HUMAN	2	0.525	-0.009	0.160	-0.513	0.533	0.538	0.693
TNIP2_HUMAN	2	0.525	0.540	0.035	-0.509	0.169	-0.016	0.134
SF3A2_HUMAN	3	0.521	0.529	0.536	-0.001	0.220	-0.513	0.746
PARP1_HUMAN	5	0.520	0.268	0.168	-0.645	0.036	0.244	0.354
PHB_HUMAN	2	0.520	0.060	0.116	-0.540	0.688	0.495	0.804
EZRI_HUMAN	5	0.518	-0.256	0.445	-0.468	0.293	0.517	0.923
TPP2_HUMAN	2	0.515	0.294	0.107	0.311	0.306	-0.590	0.413
LEG1_HUMAN	10	0.513	0.475	0.333	-0.543	0.411	0.083	0.505
S10A9_HUMAN	30	0.508	0.038	0.355	0.518	0.774	-0.498	0.601
PLEK_HUMAN	10	0.507	-0.382	0.190	0.589	0.503	-0.151	0.104
ICEF1_HUMAN	2	0.505	0.402	0.599	-0.563	1.686	0.176	1.086
TRFE_HUMAN	6	0.505	-0.316	0.381	0.636	0.262	-0.132	0.323
ECP_HUMAN	8	0.504	0.210	0.278	-0.534	0.231	0.426	0.323
ACLY_HUMAN	6	0.503	0.595	0.432	-0.170	0.222	-0.354	0.448
ACBP_HUMAN	3	0.502	-0.005	0.090	-0.452	0.121	0.550	0.102
S10A8_HUMAN	25	0.500	-0.033	0.315	0.529	0.681	-0.469	0.602
KAPO_HUMAN	3	0.499	-0.359	0.338	-0.199	0.203	0.573	0.461
PRDX3_HUMAN	3	0.498	-0.209	0.552	0.574	0.402	-0.350	0.197
TNAP2_HUMAN	2	0.495	-0.101	0.014	0.545	0.383	-0.428	0.397
EIF3A_HUMAN	3	0.494	0.231	0.361	-0.561	0.445	0.345	0.170
THIM_HUMAN	2	0.491	0.053	0.352	-0.508	0.478	0.471	0.830
PSB1_HUMAN	3	0.488	-0.025	0.137	-0.467	0.309	0.508	0.194
MVP_HUMAN	4	0.488	0.021	0.116	0.418	0.162	-0.552	0.379
FES_HUMAN	3	0.486	0.564	0.603	-0.314	0.899	-0.234	0.862
SELH_HUMAN	2	0.485	0.456	0.202	-0.509	0.052	0.068	0.254
ODO1_HUMAN	3	0.483	-0.248	0.453	-0.299	0.365	0.562	0.814
PSA6_HUMAN	4	0.483	0.596	0.158	0.124	0.476	-0.371	0.429
CYTB_HUMAN	7	0.479	-0.339	0.066	-0.199	0.706	0.553	0.684
HCD2_HUMAN	2	0.478	0.333	0.224	-0.544	0.633	0.226	0.857
CAP7_HUMAN	21	0.477	-0.528	0.606	0.392	1.060	0.151	1.198
PP2BA_HUMAN	3	0.477	-0.341	0.234	-0.192	0.485	0.549	0.411
VATA_HUMAN	6	0.476	0.568	0.498	-0.157	0.235	-0.329	0.388
OXSRI_HUMAN	2	0.475	-0.113	0.031	0.528	0.224	-0.399	0.193
KHDR1_HUMAN	2	0.474	0.552	0.241	-0.274	0.158	-0.263	0.399
XRCC1_HUMAN	2	0.473	-0.079	0.802	-0.420	0.134	0.515	0.668
LAP2A_HUMAN	2	0.472	0.003	0.034	0.478	0.825	-0.465	0.859
PNCB_HUMAN	3	0.471	0.095	0.472	-0.504	0.172	0.425	0.340
FCL_HUMAN	2	0.470	-0.263	0.104	-0.269	0.797	0.548	0.901
SEPT6_HUMAN	5	0.469	0.266	0.124	-0.463	0.224	0.413	0.103
TAP1_HUMAN	2	0.468	-0.342	0.263	-0.179	0.386	0.537	0.649
G6PE_HUMAN	3	0.466	-0.515	0.378	0.145	0.491	0.386	0.652
DHB12_HUMAN	3	0.464	0.076	0.480	0.430	0.848	-0.490	0.414
PTN11_HUMAN	2	0.463	-0.491	0.141	0.081	0.222	0.425	0.081
SYDC_HUMAN	3	0.461	-0.256	0.072	-0.266	0.295	0.538	0.224
CSN3_HUMAN	2	0.459	-0.067	0.031	-0.414	0.401	0.496	0.432
PB1_HUMAN	2	0.459	0.535	0.031	-0.271	0.028	-0.248	0.059
H4_HUMAN	15	0.453	0.475	0.553	-0.384	1.114	-0.203	0.691
RETN_HUMAN	11	0.452	0.372	0.233	0.067	0.332	-0.518	0.096
BOLA2_HUMAN	3	0.452	-0.331	0.621	-0.172	0.305	0.519	0.584
LAMP1_HUMAN	2	0.449	-0.490	0.481	0.387	0.210	0.118	0.270
GPX1_HUMAN	3	0.449	0.094	0.148	-0.481	0.415	0.403	0.301
AMPN_HUMAN	3	0.446	-0.436	0.366	-0.006	0.390	0.457	0.391
CBX3_HUMAN	3	0.443	-0.305	0.520	-0.192	0.314	0.512	0.834
PTPRJ_HUMAN	5	0.442	0.157	0.517	0.352	0.314	-0.493	0.216
MGA_HUMAN	2	0.439	-0.496	0.284	0.189	0.002	0.323	0.286
UBP7_HUMAN	2	0.438	0.421	0.122	0.047	0.440	-0.452	0.319
CD59_HUMAN	2	0.438	-0.006	0.046	-0.427	0.679	0.449	0.633
ADAMB_HUMAN	2	0.438	0.481	0.307	-0.085	0.017	-0.381	0.290
CALR_HUMAN	15	0.438	-0.123	0.180	0.538	0.543	-0.291	0.575
S100P_HUMAN	3	0.438	-0.480	0.677	0.371	0.402	0.125	0.878
CD44_HUMAN	2	0.438	0.339	0.144	-0.490	0.191	0.167	0.046
41_HUMAN	2	0.437	-0.482	0.034	0.135	0.155	0.363	0.189
CREG1_HUMAN	4	0.436	-0.535	0.363	0.140	0.039	0.282	0.349
QCR1_HUMAN	2	0.436	0.235	0.057	-0.497	0.069	0.277	0.011
SAFB1_HUMAN	2	0.435	0.507	0.189	-0.269	0.223	-0.222	0.034

F1142_HUMAN	2	0.434	0.499	0.531	-0.311	0.431	-0.173	0.100
NASP_HUMAN	2	0.433	0.486	0.214	-0.354	0.078	-0.117	0.137
NDKA_HUMAN	6	0.433	-0.357	0.506	0.484	0.587	-0.112	0.571
FLNB_HUMAN	2	0.430	0.471	0.630	-0.078	0.026	-0.377	0.603
MEFV_HUMAN	2	0.427	0.429	0.001	-0.425	0.048	0.011	0.047
EIF3C_HUMAN	2	0.425	0.429	0.601	0.007	0.494	-0.421	0.107
VINC_HUMAN	26	0.424	-0.169	0.263	0.502	0.343	-0.283	0.509
TCPB_HUMAN	7	0.423	0.116	0.484	0.362	0.339	-0.463	0.753
NIT2_HUMAN	3	0.423	-0.482	0.264	0.283	0.326	0.214	0.563
PP2AA_HUMAN	3	0.417	-0.257	0.537	0.486	0.551	-0.213	0.363
MMP8_HUMAN	15	0.414	-0.289	0.281	0.461	0.797	-0.219	0.631
PSMD6_HUMAN	3	0.414	-0.249	0.504	-0.218	0.286	0.483	0.493
TCPG_HUMAN	2	0.413	-0.205	0.294	-0.260	0.524	0.481	0.818
AIF1_HUMAN	3	0.413	-0.331	0.170	-0.119	0.238	0.466	0.398
DCTN2_HUMAN	2	0.412	0.410	1.071	0.020	1.191	-0.414	0.120
PSA5_HUMAN	4	0.411	-0.125	0.241	-0.326	0.196	0.466	0.419
CISY_HUMAN	5	0.411	0.293	0.086	-0.462	0.128	0.197	0.448
PLEC1_HUMAN	22	0.411	0.420	0.161	-0.398	0.200	-0.053	0.213
RCC2_HUMAN	3	0.410	0.090	0.234	-0.386	0.087	0.430	0.330
PADI2_HUMAN	13	0.408	-0.402	0.313	0.413	0.271	0.004	0.319
SYYC_HUMAN	2	0.407	0.207	0.322	0.271	0.583	-0.463	0.906
ACTB_HUMAN	2	0.406	-0.358	0.068	0.444	0.575	-0.070	0.507
PRG3_HUMAN	9	0.405	0.305	0.634	-0.490	0.152	-0.227	0.684
CTBP1_HUMAN	3	0.403	0.439	0.831	-0.357	0.683	-0.067	0.245
ARL8B_HUMAN	2	0.401	-0.168	0.067	0.463	0.255	-0.279	0.322
GRK6_HUMAN	2	0.400	0.294	0.058	0.174	0.094	-0.452	0.153
ACS11_HUMAN	2	0.400	0.264	0.177	-0.456	0.391	0.207	0.214
RAB7A_HUMAN	7	0.399	0.419	0.378	-0.081	0.338	-0.370	0.599
FLOT2_HUMAN	6	0.399	-0.251	0.400	0.416	0.208	-0.297	0.200
MK01_HUMAN	2	0.398	-0.181	0.165	-0.266	0.406	0.462	0.241
ACINU_HUMAN	3	0.397	0.339	0.184	-0.434	0.374	0.110	0.471
HMG1_HUMAN	4	0.397	-0.372	0.442	-0.228	0.334	0.376	0.290
TPM3_HUMAN	3	0.396	0.377	0.654	0.051	0.252	-0.412	0.441
RS11_HUMAN	2	0.396	0.157	0.378	0.302	1.206	-0.444	0.828
CC88B_HUMAN	6	0.395	0.274	0.249	-0.460	0.027	0.161	0.139
PREX1_HUMAN	5	0.394	-0.392	0.111	0.305	0.200	0.276	0.141
THIC_HUMAN	3	0.393	0.395	0.344	-0.390	0.207	0.010	0.160
CS043_HUMAN	2	0.392	0.180	0.168	-0.444	0.094	0.279	0.074
PRAM_HUMAN	10	0.389	-0.403	0.103	-0.035	0.198	0.375	0.158
IDHP_HUMAN	4	0.388	0.331	0.093	0.078	0.041	-0.431	0.025
GRAN_HUMAN	9	0.388	0.210	0.323	0.344	0.411	-0.385	0.580
ANXA7_HUMAN	4	0.388	0.443	0.150	-0.274	0.499	0.341	0.375
GRN_HUMAN	12	0.387	-0.457	0.309	0.115	0.297	0.281	0.406
PML_HUMAN	3	0.386	0.103	0.202	-0.420	0.052	0.332	0.171
RAB5C_HUMAN	3	0.384	-0.395	0.857	0.371	0.489	0.039	0.496
HNRPR_HUMAN	2	0.383	0.156	0.055	0.290	0.237	-0.430	0.291
RPN1_HUMAN	6	0.380	0.126	0.212	0.382	0.268	-0.366	0.238
RL23A_HUMAN	2	0.380	-0.309	0.460	-0.103	0.068	0.427	0.528
RB27A_HUMAN	7	0.378	0.064	0.395	0.100	0.031	-0.573	0.089
BAX_HUMAN	3	0.377	0.140	0.415	0.297	0.221	-0.421	0.603
ABCF1_HUMAN	2	0.376	0.412	0.878	-0.067	0.321	-0.330	1.199
RPN2_HUMAN	3	0.376	0.287	0.583	0.150	0.491	-0.421	0.639
TLN1_HUMAN	74	0.373	-0.236	0.289	0.436	0.278	-0.181	0.384
NCF1B_HUMAN	8	0.373	0.160	0.188	-0.455	0.036	0.218	0.135
MAP4_HUMAN	2	0.372	0.435	0.031	-0.206	0.004	-0.214	0.027
DHR57_HUMAN	3	0.370	-0.348	0.330	-0.027	0.146	0.390	0.390
SFRS7_HUMAN	2	0.369	0.322	0.081	-0.400	0.649	0.094	0.730
RL6_HUMAN	3	0.368	0.114	0.157	-0.405	0.352	0.306	0.504
PEBP1_HUMAN	6	0.367	-0.160	0.354	-0.271	0.031	0.412	0.426
NDRG1_HUMAN	2	0.365	-0.360	0.018	0.007	0.164	0.369	0.182
HBXIP_HUMAN	2	0.364	0.338	0.139	-0.384	0.557	0.062	0.418
DNJA1_HUMAN	3	0.364	0.032	0.430	0.355	0.122	-0.371	0.339
CATC_HUMAN	5	0.362	0.082	0.095	0.295	0.285	-0.411	0.302
U2AF1_HUMAN	3	0.361	0.402	0.174	-0.304	0.391	-0.082	0.462
UTRO_HUMAN	2	0.361	0.067	0.189	0.331	0.032	-0.382	0.221
CNDP2_HUMAN	3	0.360	-0.078	0.447	-0.307	0.619	0.400	0.494
SC23A_HUMAN	5	0.360	-0.301	0.902	0.419	0.834	0.075	0.103
ROAA_HUMAN	2	0.357	0.307	0.229	-0.389	0.131	0.098	0.360
GPR97_HUMAN	2	0.357	0.279	0.363	-0.398	0.195	0.135	0.169
DEF1_HUMAN	12	0.353	-0.182	0.656	-0.214	2.060	0.412	1.654
NUP98_HUMAN	2	0.353	-0.381	0.062	0.087	0.522	0.309	0.460
PHP14_HUMAN	4	0.352	0.232	0.305	-0.469	0.585	-0.064	0.333
COX5A_HUMAN	2	0.351	-0.184	0.346	0.411	0.289	-0.212	0.057
KCAB2_HUMAN	3	0.351	-0.291	0.249	-0.087	0.713	0.393	0.850
LIRB2_HUMAN	2	0.350	-0.178	0.002	0.409	0.069	-0.216	0.071
SH3L1_HUMAN	9	0.350	-0.032	0.337	-0.325	0.383	0.372	0.455
TCPE_HUMAN	4	0.350	0.069	0.032	-0.293	0.382	0.406	0.221
GLU2B_HUMAN	7	0.349	0.201	0.144	0.265	0.361	-0.370	0.352
HNRDL_HUMAN	2	0.349	-0.171	0.241	-0.221	0.233	0.408	0.474
B2MG_HUMAN	7	0.347	0.091	0.218	0.301	0.482	-0.377	0.350
PRG2_HUMAN	14	0.347	0.303	0.378	-0.390	0.880	-0.024	0.530
ICB1_HUMAN	3	0.344	-0.090	0.068	-0.281	0.280	0.387	0.341
TOR1A_HUMAN	2	0.343	0.024	0.215	-0.347	0.228	0.338	0.443
IMDH1_HUMAN	3	0.343	0.136	0.071	0.263	0.413	-0.384	0.343
TXND4_HUMAN	2	0.343	0.247	0.236	0.156	0.071	-0.387	0.307
HUWE1_HUMAN	3	0.342	0.371	0.360	-0.048	0.098	-0.307	0.362
TKT_HUMAN	39	0.342	0.363	0.334	-0.321	0.272	0.015	0.188
RINI_HUMAN	21	0.342	0.201	0.323	-0.389	0.492	0.204	0.557
DYL2_HUMAN	3	0.341	-0.343	0.154	0.339	0.627	0.019	0.694
PSB2_HUMAN	2	0.338	0.153	0.410	0.244	0.339	-0.381	0.749
PSME2_HUMAN	5	0.336	0.266	0.318	-0.394	0.426	0.046	0.528
PTMA_HUMAN	2	0.336	0.246	0.314	0.148	0.252	-0.378	0.566
RS13_HUMAN	2	0.336	0.118	0.033	-0.372	0.617	0.270	0.650
PTBP1_HUMAN	3	0.336	-0.024	0.225	-0.108	0.247	0.511	0.285
PPM1F_HUMAN	2	0.335	-0.301	0.006	-0.046	0.088	0.363	0.082
LAGE3_HUMAN	2	0.335	0.192	0.130	-0.381	0.172	0.205	0.041
OTUB1_HUMAN	3	0.334	0.391	0.373	-0.175	0.320	-0.201	0.400
STT3B_HUMAN	2	0.334	-0.249	0.122	0.384	0.276	-0.119	0.153

KPCB_HUMAN	5	0.334	0.330	0.262	-0.337	0.173	0.022	0.361
ABI1_HUMAN	2	0.334	-0.041	0.702	-0.303	0.209	0.359	0.911
OXR1_HUMAN	2	0.333	0.005	0.175	-0.342	0.104	0.323	0.279
COASY_HUMAN	2	0.333	-0.044	0.109	-0.301	0.305	0.360	0.196
HNRPC_HUMAN	5	0.333	0.175	0.218	-0.123	0.315	-0.490	0.142
RCC1_HUMAN	3	0.333	0.193	0.379	-0.379	0.291	0.201	0.139
TTL12_HUMAN	3	0.332	0.304	0.163	-0.353	0.215	0.064	0.082
DEF16_HUMAN	4	0.332	-0.158	0.111	-0.214	0.635	0.387	0.687
BST1_HUMAN	6	0.331	0.408	0.347	-0.251	0.012	0.024	0.427
IF4A3_HUMAN	2	0.331	0.106	0.390	0.273	0.072	-0.364	0.318
ILF3_HUMAN	8	0.327	-0.086	0.238	-0.210	0.028	0.408	0.201
CDC42_HUMAN	4	0.327	-0.347	0.177	0.166	0.070	0.261	0.082
RAP1B_HUMAN	7	0.327	-0.147	0.197	0.380	0.249	-0.218	0.432
UN13D_HUMAN	7	0.325	-0.300	0.253	0.093	0.230	0.345	0.143
TNPO1_HUMAN	2	0.325	0.304	0.022	0.052	0.267	-0.340	0.289
IF2GL_HUMAN	2	0.324	0.362	0.390	-0.272	0.376	-0.075	0.014
HNRPG_HUMAN	4	0.324	0.416	0.336	-0.195	0.046	-0.072	0.239
PPM1A_HUMAN	2	0.323	-0.310	0.096	0.334	0.274	-0.008	0.177
CDD_HUMAN	6	0.322	0.267	0.626	-0.355	0.150	0.103	0.656
VAMP8_HUMAN	3	0.322	-0.165	0.071	0.377	0.046	-0.196	0.028
NOL5A_HUMAN	2	0.321	-0.005	0.387	-0.311	0.893	0.331	0.506
MMP9_HUMAN	46	0.321	-0.036	0.282	-0.345	0.461	0.296	0.451
TAOK3_HUMAN	3	0.320	0.263	0.082	-0.353	0.779	0.106	0.702
HKK2_HUMAN	2	0.319	0.285	0.099	0.073	0.460	-0.342	0.361
NSUN2_HUMAN	2	0.319	0.182	0.380	-0.363	0.143	0.196	0.237
ANXA6_HUMAN	31	0.319	0.011	0.240	-0.316	0.207	0.321	0.416
CY24A_HUMAN	2	0.318	-0.038	0.044	0.343	0.232	-0.290	0.187
NEDD8_HUMAN	2	0.318	0.368	0.179	-0.127	0.164	-0.226	0.342
CATG_HUMAN	17	0.318	-0.348	0.250	0.025	0.194	0.284	0.216
FGD3_HUMAN	3	0.317	0.077	0.513	0.281	0.106	-0.342	0.477
CSRP1_HUMAN	5	0.317	-0.057	0.462	0.349	0.527	-0.277	0.382
GNAI3_HUMAN	2	0.317	-0.319	0.074	0.315	0.215	0.019	0.288
TPR_HUMAN	2	0.317	0.322	0.394	-0.312	0.044	0.006	0.438
CAZ2A_HUMAN	3	0.316	0.269	0.448	0.092	0.213	-0.345	0.249
PCP_HUMAN	3	0.316	-0.335	0.218	0.061	0.456	0.290	0.648
CASP1_HUMAN	2	0.316	-0.088	0.077	-0.253	0.206	0.357	0.284
VAPB_HUMAN	2	0.316	-0.173	0.110	0.370	0.060	-0.181	0.169
MA2B1_HUMAN	3	0.315	-0.355	0.242	0.144	0.400	0.227	0.466
PSD12_HUMAN	2	0.314	0.345	0.047	-0.273	0.192	-0.057	0.145
CAMP_HUMAN	10	0.314	-0.351	0.121	0.250	0.270	0.106	0.231
UBR4_HUMAN	4	0.313	0.305	0.330	-0.053	0.183	-0.319	0.167
GDF7_HUMAN	2	0.313	-0.341	0.567	0.268	0.394	0.088	0.173
LMAN2_HUMAN	5	0.313	0.187	0.061	0.321	0.073	-0.276	0.291
MP2K2_HUMAN	3	0.312	0.325	0.623	-0.009	0.167	-0.300	0.637
PRP8_HUMAN	3	0.312	0.060	0.072	-0.331	0.167	0.287	0.221
PERF_HUMAN	2	0.312	0.037	0.443	0.300	0.338	-0.321	0.105
GGH_HUMAN	2	0.312	-0.016	0.344	0.327	0.046	-0.296	0.298
HNRH1_HUMAN	9	0.312	0.216	0.046	-0.011	0.491	-0.401	0.428
PDCD4_HUMAN	2	0.312	0.219	0.460	0.149	0.568	-0.353	0.108
CAND1_HUMAN	3	0.310	0.312	0.189	0.013	0.160	-0.309	0.215
COTL1_HUMAN	8	0.309	0.374	0.260	-0.089	0.508	-0.213	0.412
ANXA5_HUMAN	8	0.309	0.151	0.163	-0.381	0.409	0.157	0.192
CX6B1_HUMAN	3	0.308	-0.236	0.323	-0.101	0.721	0.352	0.573
1A30_HUMAN	3	0.307	-0.217	0.919	0.356	0.910	-0.123	0.794
YBOX1_HUMAN	3	0.307	0.345	0.044	-0.268	0.141	0.031	0.157
GPSN2_HUMAN	2	0.306	-0.119	0.267	0.354	0.101	-0.220	0.367
K6PL_HUMAN	9	0.306	-0.342	0.424	-0.214	0.272	0.240	0.414
VPS29_HUMAN	2	0.305	0.154	0.460	0.208	0.157	-0.346	0.617
RHG01_HUMAN	7	0.304	0.006	0.225	0.386	0.368	-0.216	0.350
PREP_HUMAN	2	0.304	-0.339	0.168	0.236	0.018	0.119	0.151
THOC4_HUMAN	3	0.304	0.048	0.064	-0.318	0.781	0.286	0.796
ADT2_HUMAN	2	0.303	0.246	0.124	0.104	0.035	-0.335	0.159
PARK7_HUMAN	12	0.302	0.052	0.279	-0.244	0.464	0.361	0.641
CH3L1_HUMAN	5	0.302	-0.063	0.252	0.328	0.009	-0.266	0.056
STK4_HUMAN	8	0.301	-0.225	0.356	-0.213	0.409	0.302	0.355
LDHA_HUMAN	20	0.300	-0.378	0.327	0.182	0.437	0.090	0.447
RD23B_HUMAN	3	0.300	0.273	0.007	0.076	0.099	-0.317	0.077
PRS4_HUMAN	3	0.299	0.064	0.390	0.271	0.332	-0.319	0.540
TCPA_HUMAN	6	0.299	0.221	0.290	0.093	0.076	-0.349	0.432
MATR3_HUMAN	4	0.298	0.127	0.196	-0.335	0.363	0.223	0.207
EWS_HUMAN	3	0.297	0.307	0.064	-0.005	0.035	-0.287	0.087
RN213_HUMAN	2	0.297	0.348	0.120	-0.159	0.081	-0.174	0.039
AL3B1_HUMAN	2	0.296	-0.138	0.164	-0.192	0.207	0.346	0.043
RL17_HUMAN	2	0.296	0.049	0.004	0.277	0.651	-0.310	0.647
CEAM8_HUMAN	3	0.295	-0.043	0.493	-0.263	0.961	0.322	0.523
CATZ_HUMAN	3	0.295	-0.220	0.368	-0.104	0.099	0.340	0.467
PSMD1_HUMAN	3	0.295	0.324	0.252	-0.259	0.075	-0.049	0.308
LYN_HUMAN	4	0.295	0.075	0.109	0.259	0.255	-0.318	0.281
LC7L2_HUMAN	3	0.294	0.299	0.312	-0.289	0.472	0.006	0.182
ARRB2_HUMAN	3	0.294	-0.084	0.087	0.288	0.146	-0.292	0.330
1433T_HUMAN	5	0.294	0.206	0.121	0.252	0.399	-0.278	0.251
UBA1_HUMAN	18	0.293	0.053	0.211	0.257	0.286	-0.321	0.348
GBLP_HUMAN	4	0.293	-0.227	0.110	-0.206	0.074	0.291	0.290
ELNE_HUMAN	42	0.293	-0.104	0.389	-0.203	0.524	0.346	0.314
QSOX1_HUMAN	3	0.293	-0.034	0.142	-0.341	0.175	0.244	0.290
GLRX1_HUMAN	5	0.292	-0.171	0.506	-0.156	0.198	0.342	0.379
RIN3_HUMAN	2	0.292	0.265	0.569	-0.311	0.574	0.062	0.005
PHB2_HUMAN	4	0.291	0.369	0.076	-0.173	0.430	-0.089	0.510
F10A1_HUMAN	3	0.290	-0.133	0.187	0.338	0.129	-0.190	0.288
RAB24_HUMAN	2	0.289	-0.194	0.839	-0.127	0.018	0.337	0.857
RHG30_HUMAN	3	0.289	0.322	0.103	-0.244	0.340	-0.062	0.240
FAS_HUMAN	3	0.289	0.214	0.108	0.125	0.104	-0.324	0.027
ROD1_HUMAN	2	0.288	0.177	0.740	-0.327	0.820	0.166	0.080
CAH2_HUMAN	2	0.288	0.330	0.388	-0.096	0.074	-0.218	0.314
AB1IP_HUMAN	5	0.287	0.263	0.365	0.056	0.402	-0.304	0.348
CSN2_HUMAN	3	0.287	-0.312	0.105	0.247	0.344	0.080	0.341
GNS_HUMAN	2	0.286	-0.322	0.143	0.213	0.134	0.124	0.009
TIF1B_HUMAN	3	0.286	0.213	0.185	-0.321	0.228	0.124	0.095

TOIP1_HUMAN	4	0.286	0.303	0.191	-0.094	0.723	-0.252	0.114
HEM2_HUMAN	2	0.285	0.261	0.356	-0.302	0.219	0.057	0.137
RBP2_HUMAN	3	0.285	0.200	0.251	0.137	0.505	-0.322	0.618
SYWC_HUMAN	6	0.285	0.110	0.215	0.152	0.130	-0.361	0.135
ARG1_HUMAN	4	0.285	-0.213	0.220	0.028	0.023	0.354	0.090
NUPL_HUMAN	2	0.283	0.323	0.068	-0.220	0.376	-0.088	0.308
GRP75_HUMAN	4	0.280	0.326	0.290	-0.118	0.138	-0.192	0.399
PTN1_HUMAN	2	0.279	-0.032	0.376	-0.254	0.640	0.301	0.264
COPA_HUMAN	2	0.279	-0.166	0.178	0.327	0.184	-0.146	0.362
DNJC8_HUMAN	2	0.279	0.253	0.264	0.059	0.700	-0.296	0.964
URP2_HUMAN	20	0.278	-0.101	0.355	0.288	0.340	-0.251	0.417
GDS1_HUMAN	2	0.278	0.215	0.265	0.111	0.011	-0.310	0.255
COPB_HUMAN	5	0.277	-0.313	0.172	0.137	0.324	0.192	0.289
PLCG2_HUMAN	4	0.277	-0.079	0.185	0.255	0.175	-0.295	0.100
STXB2_HUMAN	5	0.276	0.028	0.169	0.219	0.097	-0.324	0.045
SAR1A_HUMAN	4	0.275	-0.107	0.182	0.319	0.189	-0.196	0.134
RAB8A_HUMAN	9	0.275	-0.188	0.152	0.320	0.478	-0.117	0.507
MSRA_HUMAN	5	0.274	-0.018	0.372	-0.219	0.056	0.324	0.058
FLOT1_HUMAN	8	0.274	0.046	0.245	0.256	0.287	-0.287	0.332
PDXD1_HUMAN	2	0.273	0.316	0.099	-0.195	0.160	-0.106	0.259
ANK1_HUMAN	2	0.272	-0.271	0.567	0.014	0.241	0.273	0.808
MP2K3_HUMAN	2	0.271	0.198	0.127	0.122	0.187	-0.305	0.060
SART3_HUMAN	3	0.271	-0.227	0.265	-0.060	0.088	0.303	0.252
TCP2_HUMAN	4	0.271	-0.196	0.046	0.264	0.129	-0.213	0.082
ANXA2_HUMAN	13	0.270	0.305	0.218	-0.117	0.242	-0.199	0.235
HCFC1_HUMAN	2	0.269	0.152	0.068	-0.306	0.294	0.170	0.227
PSA4_HUMAN	2	0.268	0.132	0.230	0.186	0.469	-0.302	0.239
6PGL_HUMAN	5	0.268	0.392	0.247	-0.006	0.129	-0.117	0.391
PAIRB_HUMAN	4	0.267	-0.096	0.210	-0.209	0.024	0.301	0.186
DAZP1_HUMAN	3	0.267	0.289	0.266	-0.242	0.153	-0.031	0.399
BIN2_HUMAN	8	0.267	-0.152	0.603	0.313	0.564	-0.145	0.185
CSN1_HUMAN	2	0.266	0.306	0.454	-0.091	0.105	-0.200	0.348
DNJC5_HUMAN	2	0.266	-0.287	0.348	0.234	0.091	0.068	0.256
CTO27_HUMAN	2	0.265	-0.027	0.129	-0.242	0.164	0.285	0.035
NCPR_HUMAN	2	0.265	0.192	0.393	-0.298	0.456	0.122	0.063
UBP47_HUMAN	2	0.264	-0.172	0.192	-0.121	0.058	0.309	0.134
PP1A_HUMAN	9	0.263	0.143	0.392	-0.267	0.201	0.223	0.451
1433F_HUMAN	7	0.263	-0.298	0.350	0.151	0.389	0.162	0.227
AL5AP_HUMAN	5	0.262	0.028	0.019	-0.206	0.289	0.316	0.039
FKBP3_HUMAN	2	0.262	-0.297	0.133	0.148	0.094	0.164	0.038
VAOD1_HUMAN	3	0.261	-0.225	0.158	-0.048	0.316	0.289	0.198
TR150_HUMAN	3	0.261	0.061	0.234	-0.279	0.102	0.233	0.302
LZIC_HUMAN	2	0.260	0.014	0.198	0.260	0.302	-0.259	0.103
CKAP5_HUMAN	2	0.259	-0.155	0.209	0.303	0.342	-0.133	0.133
NFKB2_HUMAN	3	0.258	0.208	0.231	-0.285	0.290	0.093	0.074
CY24B_HUMAN	5	0.258	0.243	0.239	-0.269	0.633	0.041	0.522
MK14_HUMAN	5	0.258	0.002	0.243	0.264	0.152	-0.251	0.358
STK38_HUMAN	4	0.257	-0.056	0.312	-0.291	0.143	0.223	0.207
MRLC2_HUMAN	10	0.257	-0.095	0.046	-0.160	0.246	0.315	0.368
SNX27_HUMAN	2	0.257	0.200	0.328	0.102	0.130	-0.286	0.457
USP9X_HUMAN	2	0.257	0.300	0.535	-0.113	0.091	-0.171	0.626
RAN_HUMAN	8	0.257	-0.024	0.160	-0.330	0.660	0.179	0.814
RL3_HUMAN	2	0.256	0.184	0.192	-0.288	0.066	0.120	0.258
AMPD2_HUMAN	2	0.256	-0.208	0.371	0.289	0.622	-0.066	0.994
VATH_HUMAN	2	0.256	0.048	0.163	-0.269	0.099	0.237	0.262
PURA2_HUMAN	6	0.255	0.003	0.287	-0.074	0.060	0.402	0.586
PDCD6_HUMAN	2	0.255	-0.040	0.061	-0.224	0.541	0.279	0.603
FUBP2_HUMAN	4	0.254	0.114	0.015	0.129	0.410	-0.318	0.174
GMPR2_HUMAN	3	0.253	0.052	0.250	-0.268	0.249	0.232	0.068
RANB3_HUMAN	3	0.253	0.168	0.133	0.134	0.331	-0.287	0.281
US51_HUMAN	4	0.253	0.290	0.111	-0.207	0.336	0.122	0.487
PIMT_HUMAN	3	0.253	0.252	0.179	-0.253	0.080	0.016	0.184
DC11L_HUMAN	4	0.252	-0.031	0.069	0.369	0.107	-0.098	0.386
HS90A_HUMAN	40	0.252	-0.048	0.237	0.266	0.399	-0.233	0.455
ACPH_HUMAN	3	0.252	-0.274	0.391	0.074	0.365	0.216	0.222
NPC2_HUMAN	3	0.251	-0.283	0.045	0.019	0.024	0.216	0.079
RBGPR_HUMAN	2	0.251	0.057	0.231	0.226	0.104	-0.268	0.128
UGPA_HUMAN	10	0.251	-0.193	0.250	-0.015	0.383	0.302	0.835
HEXB_HUMAN	3	0.250	-0.241	0.318	-0.002	0.284	0.259	0.543
ZYX_HUMAN	15	0.250	-0.139	0.096	0.289	0.206	-0.150	0.220
PHTNS_HUMAN	4	0.250	0.272	0.226	-0.207	0.024	-0.089	0.187
AHNK_HUMAN	40	0.249	0.285	0.214	-0.126	0.191	-0.164	0.237
PDXK_HUMAN	2	0.249	0.131	0.050	0.167	0.165	-0.282	0.215
LRBA_HUMAN	2	0.249	-0.171	0.081	-0.103	0.388	0.290	0.308
ALDOC_HUMAN	5	0.249	-0.083	0.029	-0.307	0.051	0.190	0.216
TPP1_HUMAN	8	0.249	-0.257	0.117	0.239	0.723	-0.037	0.591
LOX5_HUMAN	7	0.248	0.240	0.343	-0.037	0.975	-0.255	0.315
NUMA1_HUMAN	10	0.248	0.130	0.259	-0.307	0.158	0.113	0.331
RS19_HUMAN	2	0.247	0.199	0.057	-0.273	0.156	0.089	0.099
YS018_HUMAN	2	0.247	0.290	0.043	-0.140	0.281	-0.134	0.324
RL4_HUMAN	3	0.246	0.280	0.121	-0.068	0.251	-0.196	0.206
S10A6_HUMAN	8	0.245	0.079	0.458	-0.269	0.713	0.205	0.824
SYF_HUMAN	4	0.245	0.014	0.058	0.261	0.079	-0.230	0.008
SYNE1_HUMAN	11	0.245	0.352	0.406	0.023	0.278	-0.127	0.774
GDI8_HUMAN	15	0.245	0.006	0.343	-0.220	0.263	0.270	0.684
ROCK1_HUMAN	3	0.245	0.068	0.387	0.213	0.257	-0.265	0.205
TNPO3_HUMAN	2	0.245	-0.272	0.015	0.096	0.122	0.192	0.138
GMPPA_HUMAN	3	0.245	-0.116	0.207	-0.155	0.451	0.287	0.263
OLA1_HUMAN	2	0.244	-0.219	0.112	-0.030	0.000	0.265	0.112
S10A4_HUMAN	11	0.244	0.033	0.213	-0.321	0.222	0.147	0.201
PROF1_HUMAN	23	0.243	-0.060	0.248	0.257	0.622	-0.221	0.588
VAV_HUMAN	4	0.243	-0.152	0.219	-0.056	0.085	0.309	0.085
ARLY_HUMAN	2	0.243	0.255	0.144	-0.229	0.122	-0.011	0.022
TSN_HUMAN	3	0.242	-0.101	0.040	-0.243	0.092	0.229	0.137
ECHB_HUMAN	3	0.241	0.178	0.074	-0.271	0.156	0.108	0.229
PDC6I_HUMAN	12	0.240	-0.165	0.245	0.266	0.324	-0.132	0.273
RS20_HUMAN	3	0.240	0.258	0.181	-0.218	0.191	-0.025	0.080
RS2_HUMAN	2	0.238	0.209	0.064	0.064	0.068	-0.257	0.004

RFA1_HUMAN	3	0.238	-0.078	0.130	-0.180	0.139	0.273	0.042
HYOU1_HUMAN	3	0.237	0.085	0.419	0.192	0.046	-0.262	0.384
H2B1C_HUMAN	15	0.237	-0.010	0.290	0.283	0.733	-0.186	0.488
DP13A_HUMAN	2	0.237	0.263	0.089	-0.047	0.129	-0.201	0.040
SAMH1_HUMAN	8	0.235	0.236	0.126	-0.235	0.150	-0.004	0.127
CP4F3_HUMAN	3	0.234	-0.253	0.182	0.065	0.317	0.203	0.381
RL30_HUMAN	2	0.232	0.273	0.062	-0.131	0.182	-0.127	0.244
DJC13_HUMAN	4	0.231	0.305	0.210	-0.144	0.845	-0.014	0.614
EPN4_HUMAN	3	0.231	0.059	0.193	0.204	0.183	-0.248	0.177
CHM4B_HUMAN	3	0.231	-0.172	0.365	0.266	0.156	-0.078	0.466
NUP50_HUMAN	2	0.230	0.035	0.582	-0.239	0.750	0.219	0.168
H2AV_HUMAN	9	0.229	0.139	0.137	-0.201	0.219	0.235	0.604
PUR2_HUMAN	2	0.229	-0.085	0.329	0.266	0.171	-0.165	0.500
RECO1_HUMAN	4	0.229	0.158	0.116	-0.270	0.062	0.085	0.151
SDCB1_HUMAN	2	0.229	-0.024	0.163	0.247	0.212	-0.207	0.375
EFTU_HUMAN	2	0.228	-0.217	0.651	-0.007	0.219	0.239	0.870
CORO7_HUMAN	3	0.228	0.152	0.217	-0.258	0.160	0.121	0.306
CPZIP_HUMAN	9	0.228	-0.130	0.113	0.267	0.200	-0.127	0.205
SORCN_HUMAN	2	0.228	0.161	0.148	0.111	0.004	-0.256	0.152
SEC63_HUMAN	2	0.227	0.253	0.168	-0.044	0.417	-0.193	0.249
MRP_HUMAN	2	0.227	0.200	0.459	-0.243	0.043	0.058	0.502
H1X_HUMAN	2	0.226	0.211	0.612	0.042	0.115	-0.237	0.727
GRB2_HUMAN	7	0.226	0.159	0.161	0.162	0.383	-0.231	0.484
SC22B_HUMAN	4	0.226	-0.042	0.059	0.225	0.259	-0.224	0.380
AMPB_HUMAN	9	0.225	-0.246	0.273	-0.103	0.124	0.196	0.410
PIPNA_HUMAN	2	0.224	0.221	0.037	0.021	0.162	-0.226	0.125
RS18_HUMAN	2	0.223	0.227	0.059	0.008	0.048	-0.219	0.107
DHX9_HUMAN	3	0.223	0.242	0.281	-0.201	0.308	-0.026	0.111
LMNB2_HUMAN	6	0.223	0.207	0.109	-0.224	0.149	0.091	0.179
RECO4_HUMAN	2	0.223	-0.103	0.124	-0.143	0.327	0.261	0.203
CY1_HUMAN	3	0.222	-0.251	0.229	0.123	0.247	0.144	0.442
TMSL3_HUMAN	4	0.222	-0.222	0.041	0.222	0.025	0.016	0.013
PGRP_HUMAN	12	0.222	0.096	0.302	0.167	0.834	-0.248	0.777
ARP2_HUMAN	14	0.221	-0.050	0.203	-0.229	0.497	0.211	0.527
COR1C_HUMAN	5	0.220	-0.010	0.070	0.256	0.207	-0.182	0.110
CEL2F_HUMAN	2	0.220	0.244	0.236	-0.189	0.013	-0.040	0.223
H14_HUMAN	7	0.220	0.168	0.136	0.093	0.176	-0.245	0.180
MDHM_HUMAN	7	0.220	0.232	0.198	-0.011	0.316	-0.206	0.306
MP2K1_HUMAN	2	0.218	0.053	0.343	0.195	0.207	-0.233	0.550
FUBP1_HUMAN	5	0.217	0.247	0.155	-0.184	0.090	-0.008	0.047
M6PBP_HUMAN	10	0.217	0.148	0.543	-0.203	0.408	-0.247	0.293
WIPF1_HUMAN	3	0.216	0.108	0.331	-0.243	0.520	0.150	0.568
RD23A_HUMAN	2	0.215	0.253	0.363	-0.135	0.084	-0.103	0.447
ANXA4_HUMAN	15	0.215	-0.235	0.341	0.126	0.500	0.148	0.501
MST4_HUMAN	2	0.215	-0.147	0.228	-0.088	0.052	0.251	0.176
ACTC_HUMAN	5	0.214	-0.162	0.389	-0.177	0.241	0.201	0.174
NBEL2_HUMAN	9	0.214	0.011	0.283	-0.260	0.409	0.162	0.381
DSRAD_HUMAN	3	0.213	-0.013	0.011	0.275	0.287	-0.142	0.208
DYN2_HUMAN	3	0.213	-0.048	0.141	-0.176	0.281	0.239	0.409
KU70_HUMAN	11	0.212	0.024	0.098	-0.234	0.243	0.187	0.246
ANM5_HUMAN	2	0.212	0.247	0.200	-0.084	0.187	-0.148	0.013
DPP3_HUMAN	2	0.211	0.100	0.091	-0.237	0.087	0.152	0.178
TCPD_HUMAN	4	0.210	0.204	0.040	-0.016	0.186	-0.215	0.215
NP1L1_HUMAN	5	0.210	0.038	0.375	0.196	0.604	-0.219	0.269
F107B_HUMAN	3	0.209	0.247	0.149	-0.107	0.314	-0.124	0.187
BAP31_HUMAN	4	0.209	-0.137	0.098	0.256	0.116	-0.063	0.068
SFO1_HUMAN	2	0.209	0.055	0.248	0.185	0.077	-0.224	0.171
TCTP_HUMAN	2	0.209	0.206	0.175	-0.211	0.343	0.021	0.168
FBRL_HUMAN	6	0.209	0.150	0.456	-0.234	0.179	0.100	0.546
PSB8_HUMAN	2	0.209	0.198	0.003	-0.216	0.200	0.034	0.197
CENB2_HUMAN	4	0.209	0.158	0.260	-0.257	0.070	-0.092	0.047
UB2L3_HUMAN	3	0.208	-0.182	0.086	0.065	0.013	0.231	0.114
PSA_HUMAN	5	0.208	0.088	0.293	0.001	0.545	-0.307	0.338
IMMT_HUMAN	5	0.207	0.064	0.205	-0.189	0.095	0.222	0.207
U2AF2_HUMAN	2	0.207	0.241	0.091	-0.147	0.163	-0.079	0.254
CAPG_HUMAN	11	0.206	0.044	0.313	0.179	0.133	-0.226	0.359
CATA_HUMAN	34	0.206	0.213	0.185	-0.105	0.472	-0.173	0.348
EMAL2_HUMAN	2	0.204	0.182	0.399	-0.218	0.024	0.051	0.423
RFA2_HUMAN	2	0.204	0.104	0.373	-0.229	0.226	0.140	0.147
EF2_HUMAN	20	0.203	0.245	0.288	-0.016	0.412	-0.155	0.466
EVL_HUMAN	8	0.203	-0.116	0.461	-0.108	0.385	0.240	0.477
VAT1_HUMAN	18	0.203	-0.196	0.320	0.041	0.255	0.209	0.329
HVCN1_HUMAN	2	0.202	0.183	0.174	0.047	0.155	-0.215	0.019
SKAP2_HUMAN	2	0.202	-0.112	0.137	0.239	0.200	-0.112	0.064
AP1B1_HUMAN	2	0.202	-0.084	0.279	0.237	0.246	-0.137	0.033
PP1R7_HUMAN	2	0.201	0.235	0.135	-0.136	0.161	-0.084	0.296
AB48R_HUMAN	12	0.201	0.165	0.287	0.072	0.079	-0.220	0.267
APMAP_HUMAN	9	0.201	-0.164	0.091	-0.026	0.561	0.232	0.399
HINT1_HUMAN	2	0.201	-0.102	0.301	0.237	0.502	-0.119	0.201
RL5_HUMAN	6	0.200	-0.145	0.181	-0.032	0.289	0.244	0.065
FLNA_HUMAN	113	0.199	-0.197	0.235	0.201	0.551	-0.005	0.486
THIO_HUMAN	6	0.199	-0.028	0.257	0.255	0.205	-0.129	0.163
UBP2L_HUMAN	2	0.199	-0.131	0.254	0.233	0.224	-0.086	0.030
PRSG6_HUMAN	2	0.198	-0.198	0.182	0.016	0.313	0.197	0.495
PRPS1_HUMAN	7	0.197	0.056	0.795	-0.212	0.215	0.171	0.739
ANX11_HUMAN	15	0.196	0.115	0.322	-0.231	0.380	0.105	0.434
DHE3_HUMAN	4	0.196	0.108	0.230	-0.229	0.061	0.115	0.038
GSTK1_HUMAN	3	0.196	0.057	0.312	-0.212	0.513	0.170	0.825
PSD13_HUMAN	2	0.196	0.094	0.379	0.141	0.051	-0.220	0.430
CPNE3_HUMAN	11	0.196	-0.220	0.147	0.144	0.098	0.088	0.218
IFIX_HUMAN	2	0.196	0.170	0.046	-0.212	0.220	0.057	0.266
DIAP1_HUMAN	9	0.195	-0.128	0.168	0.213	0.039	-0.122	0.236
PR57_HUMAN	3	0.195	-0.174	0.249	-0.024	0.156	0.213	0.243
DBNL_HUMAN	14	0.195	0.023	0.094	-0.173	0.232	0.217	0.284
HNRPU_HUMAN	11	0.195	0.154	0.347	-0.202	0.167	0.114	0.260
MDHC_HUMAN	10	0.195	0.027	0.161	-0.152	0.330	0.237	0.186
ASC_HUMAN	4	0.194	0.143	0.390	-0.217	0.139	0.090	0.503
SYSC_HUMAN	5	0.194	-0.152	0.181	0.205	0.126	0.158	0.062

HNRPF_HUMAN	4	0.194	0.136	0.077	-0.249	0.293	-0.091	0.279
LIS1_HUMAN	4	0.192	0.081	0.236	0.083	0.104	-0.251	0.213
PTX3_HUMAN	5	0.192	0.171	0.176	-0.206	0.093	0.050	0.196
PRDX1_HUMAN	6	0.192	-0.281	0.358	0.075	0.403	0.020	0.129
SFPQ_HUMAN	7	0.191	0.239	0.243	-0.136	0.267	-0.010	0.269
NHERF_HUMAN	7	0.190	0.115	0.500	-0.018	0.265	-0.260	0.235
SET_HUMAN	4	0.190	-0.042	0.061	0.222	0.216	-0.147	0.566
ATPB_HUMAN	10	0.190	0.167	0.318	-0.163	0.261	0.163	0.219
GBB2_HUMAN	5	0.189	-0.175	0.170	-0.007	0.027	0.203	0.110
TFIP8_HUMAN	2	0.189	0.204	0.006	-0.172	0.167	-0.017	0.173
RBBP4_HUMAN	3	0.188	0.222	0.390	-0.112	0.228	-0.095	0.341
SAC1_HUMAN	3	0.188	-0.209	0.377	0.142	0.430	0.083	0.807
BASP_HUMAN	22	0.188	-0.191	0.206	0.106	0.287	0.158	0.384
PIPB_HUMAN	5	0.187	0.121	0.068	0.020	0.043	-0.241	0.194
TMOD3_HUMAN	3	0.185	-0.179	0.167	0.003	0.223	0.192	0.365
H15_HUMAN	8	0.185	0.066	0.352	0.044	0.036	-0.265	0.393
WDR1_HUMAN	24	0.184	0.030	0.510	0.197	0.602	-0.170	0.636
PRS6A_HUMAN	3	0.183	-0.140	0.366	-0.055	0.345	0.211	0.706
CASP4_HUMAN	2	0.183	-0.111	0.000	-0.090	0.135	0.216	0.135
HPRT_HUMAN	6	0.183	0.067	0.073	-0.215	0.318	0.128	0.369
NUCL_HUMAN	13	0.183	0.151	0.230	-0.214	0.101	-0.047	0.358
PLCB_HUMAN	2	0.182	-0.069	0.098	0.212	0.232	-0.127	0.330
IDHC_HUMAN	5	0.181	0.010	0.410	0.183	0.380	-0.178	0.779
EF1A1_HUMAN	21	0.181	-0.027	0.217	0.171	0.187	-0.190	0.411
RBM25_HUMAN	4	0.180	0.213	0.202	-0.099	0.318	-0.099	0.283
IF3E1_HUMAN	2	0.179	0.061	0.140	-0.195	0.572	0.150	0.712
LMNB1_HUMAN	24	0.179	0.207	0.209	-0.070	0.146	-0.127	0.380
DHB11_HUMAN	4	0.179	0.167	0.107	0.011	0.185	-0.189	0.213
AK1A1_HUMAN	3	0.178	0.138	0.029	0.075	0.115	-0.197	0.087
ARHG2_HUMAN	2	0.178	-0.050	0.270	0.204	0.405	-0.139	0.135
RRAGC_HUMAN	2	0.178	0.073	0.435	0.139	0.141	-0.196	0.294
PRAF3_HUMAN	2	0.178	0.119	0.104	-0.200	0.118	0.096	0.221
PERM_HUMAN	74	0.177	-0.190	0.388	0.054	0.534	0.154	0.575
H2AY_HUMAN	21	0.176	0.180	0.287	-0.172	0.215	-0.024	0.301
CDV3_HUMAN	6	0.176	0.204	0.260	-0.131	0.082	-0.058	0.196
TAGL2_HUMAN	11	0.176	0.063	0.175	0.139	0.158	-0.196	0.133
ARHG1_HUMAN	9	0.175	-0.022	0.262	-0.155	0.251	0.192	0.373
KU86_HUMAN	10	0.175	0.032	0.263	-0.196	0.093	0.149	0.248
OGFR_HUMAN	3	0.175	0.188	0.248	-0.161	0.228	-0.011	0.111
MYH9_HUMAN	131	0.175	-0.048	0.349	0.188	0.285	-0.153	0.374
SAP_HUMAN	11	0.174	-0.175	0.242	0.168	0.307	0.051	0.349
ITB2_HUMAN	26	0.174	0.053	0.188	0.150	0.424	-0.188	0.388
PDIA6_HUMAN	5	0.174	0.021	0.006	0.182	0.315	-0.165	0.197
CEND2_HUMAN	3	0.174	-0.069	0.115	-0.119	0.232	0.204	0.343
KINH_HUMAN	7	0.173	-0.148	0.135	0.179	0.243	0.112	0.127
HNRPQ_HUMAN	6	0.173	0.172	0.403	-0.138	0.071	0.148	0.604
DYSF_HUMAN	11	0.173	-0.107	0.134	0.050	0.118	0.239	0.416
SNAI_HUMAN	5	0.172	0.049	0.146	-0.295	0.439	-0.099	0.278
AP2A1_HUMAN	4	0.172	0.122	0.155	0.187	0.178	-0.137	0.382
PSME1_HUMAN	8	0.171	-0.073	0.282	-0.054	0.202	0.232	0.422
NONO_HUMAN	5	0.170	0.194	0.307	-0.122	0.128	-0.071	0.068
ESYT1_HUMAN	3	0.170	0.024	0.179	0.164	0.553	-0.173	0.403
FLII_HUMAN	3	0.169	-0.080	0.022	0.200	0.046	-0.105	0.059
CD45_HUMAN	13	0.169	0.022	0.199	0.072	0.185	-0.243	0.473
SC31A_HUMAN	2	0.168	0.071	0.062	-0.186	0.008	0.130	0.070
GYS1_HUMAN	6	0.168	0.075	0.275	0.127	0.215	-0.186	0.463
1433Z_HUMAN	18	0.167	0.105	0.204	0.158	0.591	-0.154	0.468
ARS2_HUMAN	4	0.166	0.137	0.213	-0.005	0.253	-0.195	0.188
OGR1_HUMAN	2	0.166	0.178	0.076	-0.009	0.146	-0.154	0.222
AKP13_HUMAN	2	0.166	0.195	0.078	-0.066	0.035	-0.114	0.043
STMN1_HUMAN	4	0.166	-0.155	0.181	0.160	0.293	0.092	0.497
EFHD2_HUMAN	6	0.166	0.109	0.062	-0.124	0.265	0.196	0.151
EHD1_HUMAN	15	0.165	-0.120	0.286	-0.075	0.438	0.185	0.305
STIM1_HUMAN	2	0.164	-0.053	0.002	0.190	0.328	-0.122	0.330
CSN4_HUMAN	2	0.164	0.170	0.133	0.002	0.164	-0.157	0.030
FKBP4_HUMAN	2	0.164	0.163	0.369	0.016	0.167	-0.164	0.202
GLYG_HUMAN	12	0.164	0.094	0.233	0.080	0.500	-0.196	0.833
ABHEB_HUMAN	4	0.163	-0.174	0.115	0.146	0.533	0.043	0.589
GSK3B_HUMAN	2	0.163	-0.183	0.050	0.084	0.967	0.114	1.016
RAB14_HUMAN	6	0.163	-0.097	0.223	0.193	0.199	-0.080	0.378
RAB3D_HUMAN	3	0.163	0.188	0.083	-0.123	0.093	-0.050	0.172
PABP1_HUMAN	6	0.162	0.148	0.145	-0.171	0.184	0.039	0.286
RAB5B_HUMAN	5	0.162	-0.209	0.149	0.109	0.099	-0.001	0.225
TPM3L_HUMAN	7	0.161	0.127	0.406	-0.180	0.438	-0.112	0.392
GDE_HUMAN	4	0.160	-0.061	0.070	-0.130	0.155	0.175	0.103
VIME_HUMAN	56	0.159	0.159	0.325	-0.142	0.401	0.097	0.335
PSIP1_HUMAN	3	0.159	-0.106	0.516	-0.066	0.354	0.187	0.778
PSB4_HUMAN	2	0.159	0.143	0.461	-0.169	0.033	0.041	0.494
FYB_HUMAN	4	0.158	-0.002	0.136	0.166	0.100	-0.149	0.149
GLOD4_HUMAN	4	0.158	0.072	0.041	-0.195	0.097	0.085	0.070
SEPT7_HUMAN	8	0.158	0.153	0.184	0.022	0.359	-0.160	0.288
EF1G_HUMAN	10	0.157	-0.155	0.259	0.132	0.159	-0.122	0.069
LA_HUMAN	3	0.157	0.041	0.264	-0.167	0.182	0.141	0.234
HNRPL_HUMAN	11	0.157	0.160	0.275	-0.154	0.356	0.010	0.369
RENT1_HUMAN	3	0.156	0.129	0.346	0.057	0.249	-0.171	0.226
HDAC1_HUMAN	3	0.156	0.182	0.115	-0.052	0.032	-0.115	0.147
MICA1_HUMAN	3	0.156	-0.148	0.132	0.000	0.399	0.163	0.308
ELMO1_HUMAN	3	0.154	0.103	0.095	-0.173	0.101	0.085	0.166
ATPA_HUMAN	7	0.154	0.178	0.222	-0.121	0.127	0.093	0.344
SAHH_HUMAN	7	0.153	0.095	0.181	-0.207	0.337	-0.006	0.210
CATS_HUMAN	5	0.153	-0.182	0.289	-0.023	0.284	0.124	0.151
PPGB_HUMAN	3	0.153	-0.071	0.373	-0.096	0.166	0.182	0.307
SF3B1_HUMAN	5	0.153	0.123	0.390	-0.168	0.349	0.060	0.385
STX11_HUMAN	2	0.153	0.032	0.319	-0.160	0.162	0.143	0.158
PGK1_HUMAN	36	0.152	0.132	0.286	0.056	0.432	-0.161	0.474
SIPA1_HUMAN	3	0.152	-0.062	0.090	-0.102	0.122	0.179	0.208
IPYR_HUMAN	2	0.151	0.178	0.407	-0.102	0.207	-0.061	0.613
ESTD_HUMAN	6	0.151	0.012	0.169	-0.106	0.296	0.194	0.309

TBL1R_HUMAN	2	0.151	0.080	0.250	0.104	0.106	-0.168	0.143
TRFL_HUMAN	109	0.151	0.097	0.308	-0.191	0.735	0.030	0.661
ILF2_HUMAN	3	0.150	-0.158	0.131	0.037	0.336	0.137	0.205
CAN1_HUMAN	10	0.150	0.199	0.275	-0.010	0.484	-0.092	0.256
NCF4_HUMAN	5	0.149	0.065	0.188	0.115	0.137	-0.165	0.118
ROA3_HUMAN	6	0.147	0.156	0.067	-0.136	0.176	0.044	0.206
IQGA1_HUMAN	39	0.146	0.122	0.229	-0.156	0.286	0.064	0.321
DENR_HUMAN	3	0.146	0.158	0.164	-0.010	0.232	-0.133	0.329
FKBP5_HUMAN	3	0.146	0.167	0.200	-0.115	0.331	-0.037	0.201
HNRH3_HUMAN	4	0.145	0.012	0.331	-0.007	0.424	-0.248	0.258
SHIP1_HUMAN	7	0.145	0.116	0.296	-0.154	0.076	-0.108	0.274
TXND5_HUMAN	2	0.144	0.144	0.360	0.015	0.248	-0.144	0.112
DCTN1_HUMAN	8	0.144	-0.049	0.040	-0.156	0.178	0.129	0.236
PDIA1_HUMAN	24	0.144	-0.170	0.456	0.117	0.585	-0.003	0.451
HNRPK_HUMAN	12	0.144	0.171	0.198	-0.086	0.144	-0.069	0.169
MOES_HUMAN	31	0.144	0.002	0.330	-0.164	0.385	0.122	0.282
LRRF1_HUMAN	14	0.144	0.149	0.150	0.000	0.139	-0.139	0.107
ACTN4_HUMAN	32	0.144	0.017	0.255	0.153	0.265	-0.134	0.231
G3P_HUMAN	44	0.143	-0.084	0.396	0.142	0.721	-0.123	0.641
1433B_HUMAN	8	0.143	0.262	0.272	-0.008	0.500	0.048	0.200
KAD2_HUMAN	3	0.142	0.139	0.262	0.021	0.249	-0.144	0.247
DPC5_HUMAN	2	0.142	-0.146	0.525	0.137	0.057	0.025	0.582
PRKDC_HUMAN	10	0.142	0.044	0.260	-0.204	0.134	0.040	0.319
SMHD1_HUMAN	5	0.142	-0.013	0.131	-0.224	0.265	0.045	0.074
TCPO_HUMAN	11	0.142	0.019	0.233	0.080	0.138	-0.190	0.401
VAPA_HUMAN	3	0.142	-0.155	0.091	0.112	0.460	0.059	0.421
RAC2_HUMAN	12	0.141	-0.091	0.138	0.000	0.217	0.186	0.347
ITAM_HUMAN	39	0.141	0.140	0.324	-0.081	0.350	-0.122	0.511
ACTG_HUMAN	82	0.141	-0.100	0.327	0.180	0.575	0.017	0.617
ROA1_HUMAN	11	0.140	0.126	0.212	-0.150	0.283	-0.058	0.244
GBB1_HUMAN	2	0.140	0.154	0.318	-0.014	0.210	-0.125	0.109
RS3_HUMAN	3	0.139	0.099	0.197	0.071	0.007	-0.155	0.190
RHG25_HUMAN	5	0.139	0.104	0.221	-0.110	0.211	-0.156	0.113
G6P1_HUMAN	38	0.139	0.014	0.332	0.148	0.524	-0.130	0.554
OSTF1_HUMAN	4	0.139	0.200	0.085	-0.069	0.199	0.008	0.366
H2A1H_HUMAN	4	0.138	0.134	0.038	-0.120	0.150	0.100	0.235
SCAM2_HUMAN	2	0.137	-0.043	0.228	0.160	0.056	-0.101	0.285
IF4A1_HUMAN	6	0.137	0.076	0.170	0.063	0.058	-0.167	0.166
GMFG_HUMAN	10	0.136	0.141	0.264	0.017	0.366	-0.131	0.204
PGM1_HUMAN	11	0.136	0.153	0.235	-0.090	0.140	-0.073	0.256
CLH1_HUMAN	26	0.135	-0.002	0.213	0.014	0.332	0.240	0.717
SASH3_HUMAN	3	0.135	0.152	0.084	-0.023	0.074	-0.113	0.076
ENPL_HUMAN	11	0.135	-0.017	0.373	0.150	0.278	-0.117	0.487
LDHB_HUMAN	17	0.135	-0.099	0.108	0.150	0.479	-0.064	0.581
PDIA3_HUMAN	26	0.134	0.122	0.161	0.038	0.185	-0.141	0.208
COF1_HUMAN	13	0.134	-0.092	0.207	0.120	0.314	0.157	0.290
SEPT2_HUMAN	2	0.134	0.147	0.290	-0.012	0.047	-0.120	0.337
HNRPD_HUMAN	9	0.133	-0.147	0.201	0.117	0.416	-0.043	0.255
ANXA3_HUMAN	24	0.133	0.064	0.308	0.166	0.482	-0.099	0.544
GRAP1_HUMAN	2	0.133	-0.012	0.342	0.146	0.192	-0.119	0.150
PYGL_HUMAN	30	0.133	0.112	0.375	-0.138	0.392	0.066	0.453
DYH1_HUMAN	13	0.133	0.066	0.209	-0.147	0.319	0.097	0.457
ARPC5_HUMAN	8	0.133	0.148	0.344	-0.116	0.562	-0.017	0.673
STRAP_HUMAN	3	0.131	-0.133	0.124	0.128	0.272	0.021	0.182
OSB18_HUMAN	2	0.131	0.061	0.119	0.099	0.183	-0.145	0.303
ARF6_HUMAN	2	0.131	0.153	0.249	-0.097	0.379	-0.040	0.130
CYC_HUMAN	2	0.131	0.122	0.032	-0.137	0.174	0.030	0.142
VPP3_HUMAN	2	0.130	0.155	0.290	-0.056	0.165	-0.083	0.125
XPO1_HUMAN	4	0.130	0.066	0.142	0.013	0.059	-0.181	0.266
G3BP1_HUMAN	5	0.130	-0.045	0.149	-0.031	0.709	0.187	0.084
GANAB_HUMAN	13	0.130	0.090	0.242	-0.162	0.348	-0.092	0.316
HSP74_HUMAN	6	0.130	-0.013	0.299	0.143	0.190	-0.114	0.225
DC112_HUMAN	4	0.130	-0.092	0.119	-0.020	0.172	0.160	0.157
CAB39_HUMAN	3	0.129	0.154	0.188	-0.064	0.117	-0.075	0.160
GSTP1_HUMAN	15	0.129	0.138	0.226	0.061	0.546	-0.114	0.476
STA5B_HUMAN	5	0.128	-0.065	0.045	-0.145	0.112	0.107	0.224
AN32B_HUMAN	7	0.128	-0.042	0.111	0.208	0.286	0.036	0.297
RIPK1_HUMAN	2	0.128	0.061	0.567	0.096	0.677	-0.141	0.111
FKB15_HUMAN	3	0.128	-0.088	0.250	0.151	0.148	-0.048	0.308
COPB2_HUMAN	2	0.127	-0.018	0.093	0.143	0.090	-0.109	0.183
EIF3I_HUMAN	3	0.127	-0.044	0.187	-0.090	0.053	0.149	0.145
CHP1_HUMAN	2	0.127	0.069	0.070	0.087	0.368	-0.141	0.299
STIP1_HUMAN	6	0.126	-0.033	0.246	0.146	0.154	-0.098	0.331
VPS4B_HUMAN	3	0.126	-0.088	0.472	-0.044	0.137	0.148	0.609
CQ049_HUMAN	3	0.125	-0.108	0.185	-0.016	0.135	0.140	0.073
UBC9_HUMAN	2	0.125	0.058	0.089	-0.138	0.797	0.095	0.886
GDIR2_HUMAN	15	0.125	-0.155	0.231	0.083	0.322	0.028	0.266
DOPD_HUMAN	4	0.124	-0.130	0.129	0.107	0.542	0.051	0.174
ACTN1_HUMAN	58	0.123	-0.138	0.250	0.108	0.351	0.008	0.443
RAB10_HUMAN	2	0.123	-0.054	0.152	0.147	0.011	-0.077	0.141
NCF2_HUMAN	14	0.123	0.055	0.086	-0.146	0.169	0.078	0.183
STOM_HUMAN	6	0.123	-0.083	0.072	0.159	0.278	0.004	0.163
ADDA_HUMAN	4	0.123	-0.096	0.060	0.150	0.242	0.034	0.337
RL7A_HUMAN	3	0.122	0.006	0.128	0.127	0.464	-0.118	0.554
PAK2_HUMAN	7	0.122	0.081	0.324	-0.135	0.194	0.070	0.392
2AA_A_HUMAN	5	0.122	0.094	0.124	0.055	0.221	-0.133	0.134
GSHR_HUMAN	8	0.122	0.029	0.211	-0.073	0.129	-0.213	0.531
1433G_HUMAN	3	0.121	-0.122	0.247	0.118	0.169	0.019	0.362
EF1D_HUMAN	4	0.120	0.018	0.097	-0.121	0.056	0.118	0.140
TPD54_HUMAN	2	0.119	-0.060	0.187	0.143	0.154	-0.067	0.033
LSP1_HUMAN	14	0.119	0.120	0.202	-0.094	0.388	-0.077	0.444
RS4X_HUMAN	2	0.119	-0.078	0.077	-0.048	0.269	0.141	0.192
TERA_HUMAN	11	0.119	0.032	0.264	-0.125	0.157	0.108	0.254
NLR4_HUMAN	4	0.119	-0.078	0.082	0.092	0.069	0.151	0.078
PRDX6_HUMAN	9	0.119	-0.087	0.406	0.139	0.297	-0.036	0.637
GRP2_HUMAN	4	0.118	-0.017	0.056	-0.067	0.129	-0.241	0.331
CH60_HUMAN	4	0.117	0.132	0.137	0.134	0.083	-0.070	0.142
KPYM_HUMAN	42	0.117	-0.110	0.319	-0.016	0.387	0.122	0.418

CAZA1_HUMAN	16	0.117	0.072	0.133	-0.055	0.416	-0.162	0.190
HSP71_HUMAN	34	0.117	-0.126	0.187	0.009	0.666	0.107	0.568
PCNP_HUMAN	2	0.117	-0.055	0.062	0.140	0.179	-0.069	0.241
SVIL_HUMAN	4	0.116	0.097	0.010	-0.133	0.058	-0.041	0.150
FGR_HUMAN	7	0.116	-0.052	0.459	-0.071	0.286	0.139	0.393
PGAM1_HUMAN	18	0.116	-0.154	0.206	0.069	0.594	0.013	0.358
RL27_HUMAN	2	0.116	-0.085	0.147	-0.035	0.937	0.136	0.790
STK10_HUMAN	11	0.116	0.119	0.359	-0.112	0.405	0.009	0.318
CA128_HUMAN	3	0.116	0.018	0.326	-0.116	0.358	0.114	0.381
PSA1_HUMAN	4	0.115	-0.001	0.051	-0.107	0.267	0.123	0.236
SPB10_HUMAN	11	0.115	0.104	0.160	-0.004	0.287	-0.126	0.235
LYPE1_HUMAN	2	0.113	0.133	0.456	-0.036	0.190	-0.081	0.266
PSB9_HUMAN	2	0.112	-0.055	0.072	0.135	0.319	-0.065	0.392
KSYK_HUMAN	9	0.112	-0.161	0.230	-0.017	0.195	0.059	0.354
FA49B_HUMAN	8	0.111	-0.023	0.256	0.150	0.426	-0.057	0.381
DOK3_HUMAN	3	0.110	-0.068	0.291	-0.048	0.134	0.131	0.387
MYO9B_HUMAN	2	0.109	0.118	0.084	-0.098	0.082	-0.004	0.166
GLGB_HUMAN	7	0.108	-0.137	0.252	0.023	0.013	0.067	0.288
ROA2_HUMAN	13	0.107	0.124	0.246	-0.090	0.157	0.017	0.262
COPD_HUMAN	3	0.107	-0.084	0.101	-0.024	0.311	0.124	0.368
CYFP2_HUMAN	4	0.107	0.137	0.142	-0.077	0.112	0.029	0.177
SYEP_HUMAN	2	0.107	0.028	0.051	0.099	0.163	-0.111	0.113
APEX1_HUMAN	11	0.106	0.149	0.387	0.040	0.250	-0.063	0.074
NIBA_HUMAN	2	0.106	-0.016	0.527	-0.088	0.193	0.120	0.334
HNRPM_HUMAN	10	0.105	0.084	0.230	-0.114	0.234	0.046	0.192
MYO1G_HUMAN	5	0.104	0.075	0.174	-0.109	0.029	0.068	0.149
TBCA_HUMAN	4	0.104	-0.081	0.103	-0.018	0.021	0.122	0.118
LKHA4_HUMAN	32	0.104	-0.019	0.306	0.132	0.250	-0.066	0.375
SF3B2_HUMAN	2	0.103	0.068	0.089	-0.114	0.192	0.061	0.103
HPT_HUMAN	17	0.103	0.110	0.278	-0.010	0.232	-0.095	0.328
SMC3_HUMAN	6	0.101	-0.013	0.209	-0.215	0.456	-0.105	0.239
6PGD_HUMAN	35	0.101	0.094	0.271	0.067	0.375	-0.093	0.467
MARCS_HUMAN	8	0.101	-0.049	0.235	0.122	0.146	-0.057	0.161
NGAL_HUMAN	22	0.101	-0.069	0.230	-0.016	0.706	0.127	0.764
I2C1_HUMAN	2	0.100	-0.079	0.323	-0.020	0.025	0.115	0.348
VPS35_HUMAN	5	0.100	-0.188	0.246	-0.020	0.020	-0.010	0.036
NCKPL_HUMAN	4	0.100	0.169	0.259	-0.028	0.331	0.097	0.108
TEBP_HUMAN	3	0.099	0.029	0.256	0.091	1.046	-0.104	1.001
PAX1_HUMAN	9	0.099	0.208	0.219	0.026	0.452	0.050	0.784
IMA4_HUMAN	4	0.098	-0.075	0.176	0.084	0.056	0.102	0.085
GDIR1_HUMAN	10	0.098	0.071	0.137	-0.124	0.160	-0.017	0.083
SH3L3_HUMAN	5	0.097	0.177	0.360	-0.017	0.425	0.088	0.073
ACON_HUMAN	5	0.097	0.089	0.010	-0.101	0.192	-0.039	0.529
RFIP1_HUMAN	2	0.097	0.105	0.037	-0.089	0.085	-0.001	0.048
DDX17_HUMAN	6	0.096	0.088	0.092	-0.072	0.343	0.101	0.335
LRCH4_HUMAN	3	0.096	0.107	0.210	-0.008	0.273	-0.084	0.091
DOCK2_HUMAN	9	0.096	0.110	0.130	-0.032	0.143	-0.072	0.117
ADHX_HUMAN	4	0.095	-0.045	0.163	0.031	0.354	0.145	0.183
GRP78_HUMAN	13	0.095	0.109	0.475	-0.016	0.494	-0.077	0.427
IMDH2_HUMAN	6	0.095	0.105	0.154	-0.069	0.022	-0.049	0.154
IMB1_HUMAN	11	0.095	0.096	0.120	-0.063	0.162	-0.074	0.125
GIMA4_HUMAN	4	0.095	0.010	0.208	0.145	0.217	-0.037	0.129
IL16_HUMAN	7	0.095	0.027	0.004	-0.150	0.270	-0.004	0.203
IF4G1_HUMAN	3	0.094	-0.080	0.113	0.106	0.987	-0.011	0.875
CALM_HUMAN	9	0.094	-0.144	0.547	-0.008	0.218	-0.188	0.316
1433E_HUMAN	7	0.094	-0.068	0.227	0.081	0.344	0.105	0.482
CSK_HUMAN	4	0.093	0.082	0.046	-0.062	0.941	0.113	0.749
ARPC4_HUMAN	7	0.093	0.109	0.264	0.122	0.071	-0.046	0.294
UAP56_HUMAN	7	0.093	0.019	0.090	-0.094	0.399	0.091	0.476
SFRS1_HUMAN	4	0.093	0.111	0.145	-0.032	0.223	-0.064	0.178
RS3A_HUMAN	3	0.092	0.083	0.119	0.029	0.168	-0.097	0.188
UBIQ_HUMAN	8	0.092	-0.019	0.135	-0.073	0.375	0.107	0.361
TALDO_HUMAN	22	0.092	-0.052	0.351	-0.095	0.204	0.082	0.482
PCBP1_HUMAN	16	0.091	0.122	0.329	-0.058	0.211	0.006	0.354
MYL6_HUMAN	8	0.091	-0.027	0.142	-0.084	0.181	0.095	0.174
DDX6_HUMAN	4	0.090	0.114	0.103	0.004	0.135	-0.064	0.204
TCP4_HUMAN	5	0.090	-0.022	0.317	-0.199	0.198	-0.084	0.130
RHG04_HUMAN	9	0.090	-0.089	0.154	-0.140	0.225	0.034	0.343
KPCD_HUMAN	8	0.088	0.105	0.126	-0.054	0.174	-0.041	0.146
PSD7_HUMAN	4	0.088	-0.100	0.108	0.041	0.054	-0.121	0.328
LBR_HUMAN	4	0.087	-0.012	0.096	-0.004	0.103	-0.158	0.136
MYPT1_HUMAN	9	0.087	-0.022	0.347	0.038	0.529	-0.133	0.359
PDIA4_HUMAN	3	0.086	0.102	0.076	-0.025	0.170	-0.062	0.213
IF16_HUMAN	4	0.086	0.032	0.008	0.090	0.139	-0.079	0.112
TPIS_HUMAN	14	0.085	0.109	0.252	-0.061	0.426	0.011	0.295
IRGQ_HUMAN	2	0.085	0.091	0.294	-0.079	0.113	0.004	0.408
UN84B_HUMAN	4	0.085	-0.009	0.091	-0.102	0.073	0.068	0.145
STAT3_HUMAN	6	0.085	0.080	0.177	0.046	0.083	-0.081	0.142
TWF2_HUMAN	10	0.085	-0.016	0.411	-0.067	0.701	0.099	0.862
FNTA_HUMAN	2	0.084	0.103	0.103	-0.048	0.013	-0.039	0.090
NAGK_HUMAN	7	0.084	0.007	0.210	0.168	0.798	0.044	0.905
KAPCA_HUMAN	3	0.084	-0.087	0.095	0.077	0.469	0.025	0.374
GDI_A_HUMAN	3	0.083	0.090	0.286	0.001	0.250	-0.076	0.182
ARPC3_HUMAN	6	0.081	0.090	0.362	0.160	0.050	-0.001	0.467
PAK1_HUMAN	2	0.079	-0.021	0.145	0.094	0.319	-0.058	0.173
ANR44_HUMAN	4	0.078	0.015	0.094	-0.067	0.068	-0.141	0.157
PPIA_HUMAN	16	0.076	-0.050	0.329	0.097	0.448	0.052	0.529
KCC2G_HUMAN	5	0.075	-0.017	0.248	0.089	0.316	-0.057	0.557
ADDG_HUMAN	3	0.075	-0.048	0.341	0.091	0.380	-0.028	0.473
KAP2_HUMAN	2	0.075	0.003	0.256	0.081	0.052	-0.069	0.205
TBB2C_HUMAN	2	0.074	0.005	0.113	-0.068	0.194	0.079	0.081
PTN6_HUMAN	17	0.073	0.077	0.244	-0.070	0.356	0.011	0.348
RS6_HUMAN	3	0.073	-0.078	0.330	0.061	0.083	0.032	0.269
TES_HUMAN	6	0.072	0.032	0.061	-0.110	0.259	-0.020	0.244
SQRD_HUMAN	3	0.071	0.081	0.237	-0.060	0.088	-0.005	0.242
TBA1B_HUMAN	36	0.071	-0.038	0.293	0.086	0.278	-0.036	0.469
FMNL_HUMAN	7	0.071	-0.049	0.677	-0.155	0.050	-0.021	0.734
ARHL2_HUMAN	2	0.070	-0.016	0.041	0.083	0.030	-0.052	0.071

CLAP2_HUMAN	3	0.069	-0.010	0.098	0.081	0.103	-0.055	0.070
ERO1A_HUMAN	6	0.069	0.152	0.388	0.114	0.006	0.018	0.147
RB11B_HUMAN	6	0.067	-0.042	0.144	0.044	0.165	0.091	0.055
ARF1_HUMAN	8	0.067	-0.102	0.193	0.022	0.202	-0.086	0.693
HXK3_HUMAN	22	0.067	0.082	0.421	-0.029	0.456	-0.037	0.702
DHAK_HUMAN	6	0.067	-0.054	0.221	-0.053	0.132	0.062	0.119
VATB2_HUMAN	3	0.066	0.068	0.059	-0.032	0.184	0.093	0.050
STAT1_HUMAN	2	0.064	-0.054	0.718	-0.004	0.829	0.073	0.111
ARC1B_HUMAN	18	0.064	-0.056	0.363	0.053	0.286	0.057	0.546
MY18A_HUMAN	3	0.064	-0.055	0.308	0.072	0.328	-0.002	0.021
GNAI2_HUMAN	16	0.064	0.035	0.276	-0.069	0.243	0.047	0.430
PSMD3_HUMAN	2	0.064	-0.011	0.254	0.075	0.475	-0.049	0.730
CRIS3_HUMAN	14	0.063	-0.015	0.479	-0.088	0.225	0.038	0.568
CENB1_HUMAN	4	0.063	-0.073	0.099	-0.138	0.215	-0.012	0.062
COR1A_HUMAN	30	0.063	0.039	0.366	-0.082	0.386	0.008	0.634
FKB1A_HUMAN	4	0.063	0.045	0.333	0.000	0.063	-0.079	0.031
SPTB2_HUMAN	21	0.062	0.027	0.239	-0.053	0.188	0.070	0.225
CRLF3_HUMAN	4	0.062	0.085	0.086	0.143	0.014	0.019	0.284
RL12_HUMAN	2	0.062	0.041	0.079	0.041	0.225	-0.066	0.147
RANG_HUMAN	2	0.060	0.031	0.004	-0.064	0.020	0.048	0.016
LASP1_HUMAN	11	0.060	0.109	0.208	-0.005	0.107	0.021	0.052
MYO1F_HUMAN	11	0.060	-0.079	0.221	-0.061	0.258	0.032	0.156
MNDA_HUMAN	29	0.059	0.058	0.261	-0.061	0.259	0.004	0.402
HCLS1_HUMAN	15	0.059	-0.038	0.281	0.011	0.297	0.080	0.227
HS90B_HUMAN	12	0.059	0.071	0.244	-0.015	0.704	-0.041	0.558
TS101_HUMAN	2	0.058	0.020	0.014	0.054	0.035	-0.059	0.021
GSTO1_HUMAN	10	0.057	0.016	0.210	0.070	0.225	-0.044	0.331
ARPC2_HUMAN	25	0.057	-0.039	0.393	0.054	0.517	0.064	0.333
ANXA1_HUMAN	34	0.056	-0.042	0.267	0.046	0.234	-0.060	0.348
GMIIP_HUMAN	2	0.056	-0.049	0.064	0.002	0.024	0.063	0.088
UBP5_HUMAN	2	0.056	0.041	0.196	0.033	0.051	-0.059	0.146
G6PD_HUMAN	27	0.055	-0.024	0.344	0.005	0.505	0.082	0.383
HMHAI1_HUMAN	8	0.054	0.040	0.226	0.148	0.119	0.092	0.457
GELS_HUMAN	47	0.054	0.015	0.305	-0.080	0.315	0.012	0.446
CLIC1_HUMAN	8	0.053	0.040	0.128	0.027	0.175	-0.058	0.206
PGM2_HUMAN	10	0.052	-0.032	0.094	-0.017	0.551	0.064	0.608
XRN2_HUMAN	2	0.050	-0.050	0.068	0.019	0.076	0.047	0.008
BUB3_HUMAN	5	0.050	-0.089	0.359	-0.120	0.065	-0.023	0.405
IQGA2_HUMAN	3	0.050	0.058	0.061	-0.002	0.137	-0.041	0.181
ICAL_HUMAN	7	0.049	-0.139	0.073	-0.051	0.195	-0.057	0.280
RS27_HUMAN	2	0.049	-0.032	0.003	-0.014	0.125	0.061	0.127
PLSL_HUMAN	71	0.048	0.024	0.345	-0.042	0.561	0.052	0.546
SVVC_HUMAN	3	0.048	0.027	0.223	0.039	0.088	-0.050	0.272
UBE2N_HUMAN	2	0.048	0.010	0.158	0.051	0.042	-0.045	0.116
IF4B_HUMAN	2	0.048	0.050	0.026	0.010	0.130	-0.045	0.104
TADBP_HUMAN	2	0.047	0.042	0.050	0.021	0.120	-0.048	0.171
UGGG1_HUMAN	5	0.046	-0.055	0.250	-0.040	0.211	0.031	0.043
SPTA2_HUMAN	31	0.046	-0.071	0.193	0.005	0.260	0.011	0.339
HSP7C_HUMAN	23	0.046	-0.055	0.330	-0.010	0.497	0.037	0.506
NAMPT_HUMAN	14	0.045	0.017	0.460	-0.025	0.252	-0.073	0.449
HMGB2_HUMAN	11	0.044	-0.008	0.146	0.056	0.154	-0.027	0.241
PSD11_HUMAN	5	0.043	0.051	0.307	-0.035	0.267	0.000	0.527
RHOA_HUMAN	7	0.043	0.023	0.148	0.107	0.262	0.077	0.444
PDSSA_HUMAN	2	0.041	-0.033	0.285	0.000	0.087	0.048	0.198
CAPZB_HUMAN	15	0.040	0.061	0.129	-0.002	0.209	-0.014	0.226
CAP1_HUMAN	22	0.040	0.004	0.231	0.076	0.483	0.011	0.615
PRDX5_HUMAN	14	0.040	-0.069	0.344	-0.023	0.173	0.011	0.278
TBB5_HUMAN	30	0.039	-0.005	0.381	0.014	0.396	-0.062	0.474
ARP3_HUMAN	18	0.039	0.040	0.258	-0.026	0.164	-0.028	0.301
ALDOA_HUMAN	37	0.039	-0.110	0.417	-0.078	0.242	-0.033	0.431
WASP_HUMAN	3	0.038	-0.039	0.069	0.026	0.015	0.028	0.071
MARE1_HUMAN	4	0.038	0.033	0.169	-0.041	0.027	-0.020	0.531
PRS10_HUMAN	3	0.037	0.001	0.259	-0.030	0.598	0.044	0.347
BTX_HUMAN	2	0.036	0.045	0.087	-0.005	0.129	-0.025	0.215
SF3A1_HUMAN	4	0.036	-0.051	0.061	-0.014	0.107	0.021	0.194
SMRC2_HUMAN	3	0.035	0.036	0.376	0.012	0.271	-0.033	0.399
TCPH_HUMAN	4	0.035	0.006	0.012	-0.057	0.217	-0.001	0.197
ZZEF1_HUMAN	2	0.034	0.043	0.343	-0.003	0.204	-0.024	0.548
ALO17_HUMAN	2	0.034	0.044	0.041	-0.017	0.202	-0.011	0.243
BRD4_HUMAN	3	0.032	0.041	0.136	-0.021	0.245	-0.005	0.156
DOCK8_HUMAN	3	0.032	0.030	0.177	-0.030	0.268	0.015	0.414
PROP_HUMAN	5	0.024	-0.055	0.157	-0.021	0.124	-0.007	0.040
PA2G4_HUMAN	7	0.024	-0.049	0.060	-0.005	0.070	-0.012	0.406
CALX_HUMAN	13	0.023	0.031	0.258	-0.006	0.291	-0.010	0.329
RL18_HUMAN	2	0.022	-0.004	0.096	-0.012	0.329	0.031	0.233
SYFA_HUMAN	2	0.020	0.012	0.266	0.021	1.239	-0.017	0.973
HMGB1_HUMAN	8	0.019	-0.033	0.279	-0.037	0.154	-0.067	0.203
RHOG_HUMAN	2	0.018	-0.013	0.070	0.023	0.254	0.006	0.323
THIK_HUMAN	3	0.018	0.009	0.273	0.021	0.251	-0.014	0.145
VASP_HUMAN	19	0.017	-0.026	0.387	0.005	0.326	-0.025	0.525
ENOA_HUMAN	43	0.017	-0.030	0.279	0.003	0.499	-0.023	0.577
HDGF_HUMAN	11	0.017	0.019	0.164	-0.015	0.184	-0.001	0.257
RLA2_HUMAN	5	0.012	0.018	0.401	0.003	0.167	-0.006	0.493
CNN2_HUMAN	7	0.010	0.059	0.152	0.078	0.178	0.075	0.287
PTN18_HUMAN	2	0.010	0.013	0.253	-0.006	0.054	0.008	0.307
PSMD2_HUMAN	6	0.009	0.000	0.144	-0.016	0.264	-0.014	0.238